

บทที่ 2

ทฤษฎีและงานวิจัยที่เกี่ยวข้อง

2.1 กระบวนการที่อุณหภูมิสูง

กระบวนการที่อุณหภูมิสูงนี้ เป็นกระบวนการที่มีบทบาทสำคัญอย่างมากต่อการผลิตเซรามิก เนื่องจากเซรามิกส่วนใหญ่นั้นมาจากการเผาด้วยอุณหภูมิที่สูงในระดับหนึ่ง เพื่อให้มีโครงสร้างทางเคมีภysis และสมบัติตรงตามที่ต้องการ ชิ้นงานที่ผ่านการขึ้นรูป (green product) และเมื่อนำมาผ่านกระบวนการที่อุณหภูมิสูงในเตาเผาจะทำให้เกิดเป็นเซรามิกตามที่ต้องการได้ โดยอาศัยขั้นตอนหลัก 3 ประการ คือ

1. การเกิดปฏิกิริยาการซินเทอร์ (sintering) ที่รวมถึงการเผาໄล่สารซึ่ดเหนี่ยวและการกำจัดพลาสติกที่เกิดขึ้นจากการแยกสลายของค์ประกอบและการเกิดออกซิเดชัน
2. การซินเทอร์เพื่อให้อุ่นภาคเกิดการหลอมรวมตัวกัน
3. การลดอุณหภูมิลงเพื่อให้ชิ้นงานเกิดการเย็นตัว (cooling)

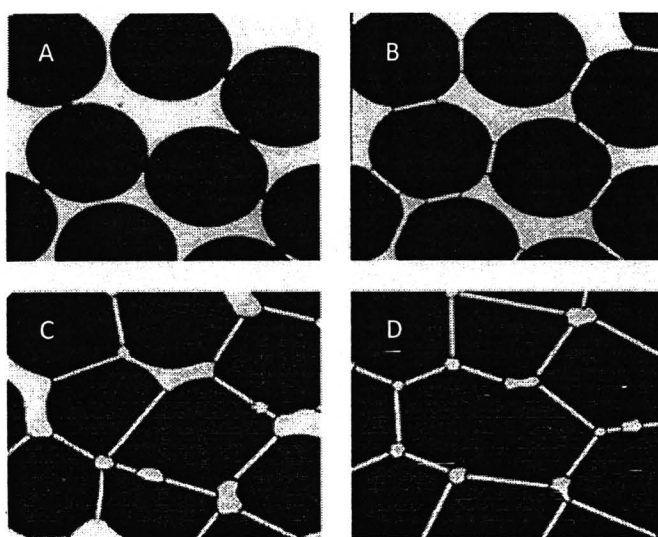
การซินเทอร์ (sintering) คือกระบวนการทางความร้อนที่ทำให้อุ่นภาคเกิดการสร้างพันธะกันอย่างสมดุล โดยมีโครงสร้างหลักเป็นของแข็งที่พัฒนามาจากการเคลื่อนย้ายมวลลักษณะต่างๆ ที่มักจะเกิดขึ้นในระดับอะตอม การเกิดพันธะเชื่อมต่อ กันดังกล่าวทำให้ระบบมีความแข็งสูงขึ้นและมีพลังงานลดลง นอกจากนี้ยังอาจกล่าวได้ว่าการซินเทอร์นั้นหมายถึงการกำจัดพิษที่อยู่ระหว่างอุ่นภาคผิวดิน โดยอาศัยการหลอมรวมของค์ประกอบที่ซึ่งอยู่ติดกันขึ้นมาทุกขั้นตอนที่อยู่ระหว่างการเปลี่ยนสภาพชิ้นงานที่ผ่านการอัดขึ้นรูป ไปเป็นโครงสร้างทางเคมีภysis ที่ประกอบด้วยกันยึดกันด้วยเกรนต่างๆ ล้วนแต่เป็นส่วนหนึ่งของขั้นตอนการซินเทอร์ทั้งสิ้น [16]

2.2 กระบวนการซินเทอร์ในสภาพของแข็ง (solid state sintering)

เมื่อนำองุ่นภาคเซรามิกมาผ่านกระบวนการอัดขึ้นรูป จะได้ชิ้นงานที่มีความหนาแน่นอยู่ในระดับหนึ่ง (green body) และเมื่อนำชิ้นงานมาเผาบนอุ่นภาคจะทำให้เกิดพันธะระหว่างอุ่นภาคของผงเซรามิก พันธะดังกล่าวจะเป็นส่วนหนึ่งในการลดพื้นผิวอิสระ การเกิดเกรนซึ่งก็ถือเป็นการลด

ผลลัพธ์ของการหดตัวที่ต้องการลดจำนวนของอนุกรณ์ การเติบโตของอนุกรณ์ การลดขนาด และการเปลี่ยนแปลงรูปร่างของรูพรุน โดยใช้อุณหภูมิในการเผาต่ำกว่าจุดหลอมเหลว ของสารประกอบบนน้ำทึบภายใน sintering ด้วยสาเหตุหลักประการในขั้นตอนจะนำไปสู่การหดตัว (shrinkage) ของชิ้นงาน [17] ในขั้นตอนการซินเตอร์ในสภาพของแข็งน้ำสามารถแบ่งขั้นตอนการซินเตอร์ออกเป็น 4 ระยะ คือ

- ก) ระยะแรก (initial stage) ผิวน้ำของอนุภาคนี้มีความเรียบ มีการเกิด grain boundary และเกิดคอ (neck) มีการเชื่อมต่อเกิดขึ้นที่รอบๆอนุภาคน้ำพุนน้อยลงกว่า 12%
- ข) ระยะกลาง (intermediate stage) อนุภาคนี้มีขนาดเดียวกันรวมตัวมีขนาดใหญ่ขึ้น การแพร่ของอนุกรณ์ทำให้เกิดรอยตัดของรอยต่อกรณ์ ปริมาตรรูพรุนลดลง มีการหดตัวของรูพรุนเปิด (open pores) ที่เชื่อมต่อระหว่าง grain boundary มีการเติบโตของกรณ์อย่างช้าๆ
- ค) ระยะสุดท้ายที่ 1 รูพรุนที่เกิดขึ้นจะเป็นรูพรุนปิด (closed pores) ซึ่งมีก้าชที่เกิดขึ้นจากการเผาอยู่ภายใน รูพรุนแบบปิดที่เกิดขึ้นเชื่อมต่ออยู่กับรอบต่อกรณ์ ทำให้มีความหนาแน่นมากกว่า 92% รูพรุนอาจหลงเหลือไว้ รูพรุนขนาดใหญ่จะหดลงช้ากว่ารูพรุนขนาดเล็กเนื่องจากผลของรัศมีความโถ้งบริเวณคอ
- ง) ระยะสุดท้ายที่ 2 กรณ์ส่วนใหญ่จะมีขนาดใหญ่ขึ้น รูพรุนที่อยู่ในกรณ์ขนาดใหญ่นี้จะมีการหดตัวลงอย่างช้าๆ

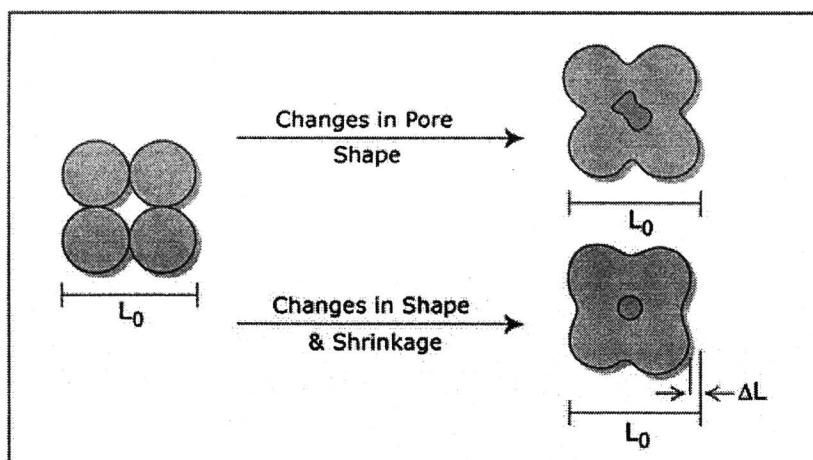


รูป 2.1 แสดงขั้นตอนของการซินเตอร์ [18]

ถ้าการขันสั่งมวลของสารเกิดจากการเคลื่อนที่ของขอบเกรน (ทำให้เกิดการเดินโടงเกรน) ขั้นตอนการซินเตอร์ช่วงกล่างก็จะไม่มีกระบวนการแน่นตัวหรือการหดตัวเกิดขึ้น การเดินโടงของเกรนที่มากเกินไปหรือไม่ปกติ (abnormal grain growth) เช่นนี้จะทำให้เกิดรูปrun แบบปีกที่ถูกขังอยู่ภายในเกรนขึ้นซึ่งสามารถกำจัดออกยาก เนื่องจากการแพร่ของแลตทิชเป็นกลไกที่ค่อนข้างช้า แต่ถ้าเป็นพวกรูปrun ที่อยู่ติดกับบริเวณขอบเกรนก็สามารถกำจัดออกไปได้ง่ายกว่า เนื่องจากการแพร่ของอะตอมเข้าไปในรูปrun จะเป็นไปอย่างรวดเร็ว ดังนั้นพวกรูปrun ที่อยู่ติดขอบเกรนจึงมีข้อดีอยู่สองอย่าง ข้อแรกคือ ความรวดเร็วในการเคลื่อนย้ายรูปrun เหล่านี้ด้วยกลไกการแพร่ของขอบเกรนสามารถกระทำได้ง่าย และข้อสองรูปrun เหล่านี้สามารถบัญชีพฤติกรรมการเดินโടงของเกรนได้ด้วยการยึดติดร่องขอบเกรนเอาไว้

2.3 การหดตัว (shrinkage)

ผลลัพธ์ที่ได้จากการรวมอนุภาคเข้าด้วยกันในระดับมหาภาก็คือ จะมีการหดตัวของกลุ่มอนุภาคผงที่อัดกันแน่นโดยการหดตัวเชิงเส้น (linear shrinkage) นั้น เกิดจากการที่จุดศูนย์กลางของแต่ละอนุภาคเคลื่อนที่เข้าหากัน [19] หลังจากที่ใช้เวลาในการเผาซินเตอร์ผ่านไปนานจนเพียงพอ จะทำให้ออนุภาคมีลักษณะของโครงสร้างเป็นตั้งแต่งในรูป 2.2



รูป 2.2 การหดตัวของเซรามิก [20]

การหดตัวเชิงเส้น (linear shrinkage) คือ การหาค่าของอัตราส่วนระหว่างชิ้นงานก่อนเผาซินเตอร์และชิ้นงานที่เผาซินเตอร์แล้ว ซึ่งเปอร์เซ็นต์การหดตัวเชิงเส้นหาได้จาก

$$= \frac{L_o - L}{L_o} \times 100 \quad (2.1)$$

โดยที่ L_o คือ เส้นผ่าศูนย์กลางของชิ้นงานก่อนซินเตอร์

L คือ เส้นผ่าศูนย์กลางของชิ้นงานหลังซินเตอร์

2.4 ความหนาแน่น (density)

ความหนาแน่นเป็นสมบัติเฉพาะของวัสดุแต่ละชนิดที่อาจแปรผันได้ตามปัจจัยต่างๆ เช่น ของไหลดจะมีความหนาแน่นเปลี่ยนไปเมื่ออุณหภูมิและความดันเปลี่ยนแปลง ส่วนของแข็งชนิดเดียวกันจะมีความหนาแน่นต่างกันตามสภาพของโครงสร้าง สิ่งปันเปื้อน และรูพรุนในเนื้อของวัสดุนั้นๆ

2.4.1 ความหนาแน่นจริง (true density) [21]

ความหนาแน่นจริงเป็นความหนาแน่นของเนื้อวัสดุที่สามารถทดสอบหาค่าได้จริงๆ จากอัตราส่วนของมวลต่อปริมาตรของสารทั้งของแข็งและของเหลว เนื่องจากมวลแต่ละโมเลกุลของสารจะมีมวลคงที่ไม่ว่าจะอยู่ในสถานะของแข็ง ของเหลวหรือก๊าซ ดังนั้นความหนาแน่นจึงเป็นสัดส่วนของจำนวนโมเลกุลของสารนั้นในหนึ่งหน่วยปริมาตร ซึ่งคำนวณได้จาก

$$D = M/V \quad (2.2)$$

โดยที่ D คือ ความหนาแน่น มีหน่วยเป็นกรัมต่อลูกบาศก์เซนติเมตร (g/cm^3)

M คือ มวล มีหน่วยเป็นกรัม (g)

V คือ ปริมาตร หรือนวayerเป็นลูกบาศก์เซนติเมตร (cm^3)

2.4.2 การหาความหนาแน่นโดยการชั้งน้ำหนัก

การนำวิธีการชั้งน้ำหนักวัสดุมาใช้นั้น เป็นการหาความหนาแน่นและค่าความถ่วงจำเพาะในงานเชรานิก เมื่อวัสดุหรือตัวอย่างที่ต้องการทดสอบเป็นก้อนในรูปของแข็งไม่คล้ายน้ำ โดยใช้เครื่องชั้งจอลลี่ (jolly balance) จากทฤษฎีที่กล่าวว่า ค่าความถ่วงจำเพาะเป็นอัตราส่วน

เปรียบเทียบระหว่างมวลของวัตถุและมวลของน้ำ ดังนั้นจึงสามารถวัดหรือชั่งน้ำหนักของวัตถุในน้ำและน้ำหนักของวัตถุในอากาศ เพื่อนำมาคำนวณตามสูตร

$$\text{ความถ่วงจำเพาะ} = W_a / (W_a - W_w) \quad (2.3)$$

โดยที่ W_a คือ น้ำหนักในอากาศ (g)

W_w คือ น้ำหนักในน้ำ (g)

การหาความหนาแน่นด้วยวิธีของอาร์คิเมดิส (Archimedes's principle) สามารถคำนวณตามความสัมพันธ์ของสมการดังนี้

$$\rho = [W_a / (W_a - W_w)] \rho_0 \quad (2.4)$$

โดยที่ ρ คือ ความหนาแน่นของวัสดุ

ρ_0 คือ ความหนาแน่นของน้ำขึ้นกับอุณหภูมิ

2.5 การนำไฟฟ้า (electrical conduction)

2.5.1 การนำพาประจุ (charge transportation) [22-25]

ถ้าวัสดุมีความหนาแน่นของพาหะนำประจุที่เคลื่อนที่ได้เท่ากับ n โดยที่พาหะแต่ละตัวมีประจุเท่ากับ Q อยู่ในสนามไฟฟ้า E ซึ่งพาหะนำประจุจะได้รับแรงกระทำที่ทำให้พาหะเหล่านี้มีความเร่งและเข้าสู่รากความเร็วปลาย ซึ่งเรียกว่าความเร็วโลกเลื่อน (drift velocity) หรือ v อย่างรวดเร็ว เนื่องจากว่ามีการเกิดอันตรกิริยากับแลตทิซ โดยได้รับอิทธิพลมาจาก การเคลื่อนที่เนื่องจากความร้อนของอะตอมหรือความบกพร่อง (defect) ต่างๆ

พาหะ (carrier) ทุกตัว ที่อยู่ภายในปริซึมซึ่งมีพื้นที่หน้าตัด A และยาว l (รูป 2.3) จะเคลื่อนที่ผ่านผิวน้ำที่อยู่ตรงส่วนปลายสุดในหนึ่งหน่วยเวลา โดยสามารถหาค่าความหนาแน่นกระแส (j) ได้จากความสัมพันธ์

$$j = nQv \quad (2.5)$$

ถ้าความเร็วโลกเลื่อนของประจุนั้นเป็นสัดส่วนกับแรงที่กระทำต่อประจุเหล่านี้จะได้ว่า

$$v = u E \quad (2.6)$$

เมื่อ n คือ สภาพเคลื่อนที่ได้ ซึ่งทำการนิยามมาจากค่าความเร็วโดยเลื่อนต่อหน่วยของสนามไฟฟ้า E จากสมการ (2.5) และ (2.6) จึงได้ว่า

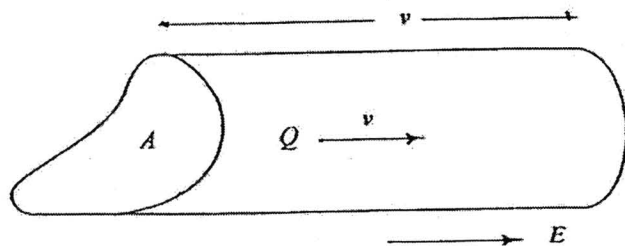
$$j = nQuE \quad (2.7)$$

สำหรับในกรณีของวัสดุที่มีค่า nQu คงที่ ที่อุณหภูมิค่าคงที่นั้นจะได้กฎของโอห์ม (Ohm's law) ที่เป็น

$$j = \sigma E \quad (2.8)$$

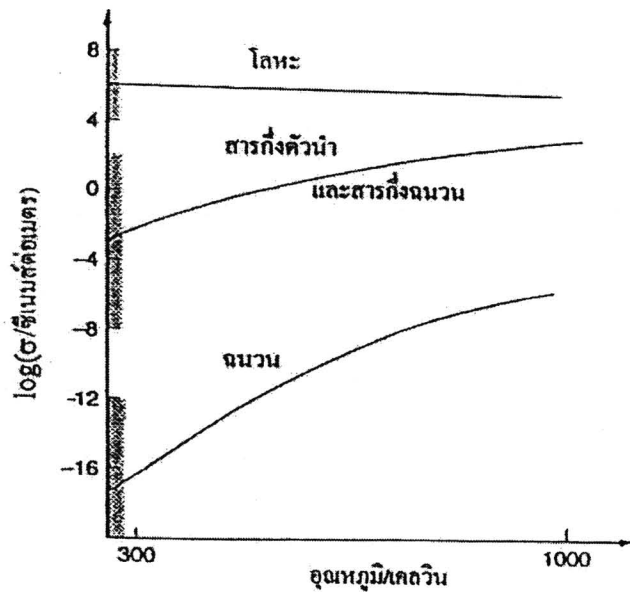
$$\text{เมื่อ } \sigma = nQu \quad (2.9)$$

เป็นสภาพนำ (conductivity) ของวัสดุ



รูป 2.3 การไหลของประจุในแท่งปริซึม [25]

วัสดุของแข็งต่างๆ มีสมบัติการนำไฟฟ้าที่แตกต่างกันมาก มีช่วงของค่าสัมประสิทธิ์การนำไฟฟ้าที่กว้างถึง 10^{27} การแบ่งชนิดของวัสดุสามารถทำได้โดยใช้ความสามารถในการนำไฟฟ้า ซึ่งก็แบ่งได้ออกเป็น ตัวนำ (conductor) ที่มีค่าสัมประสิทธิ์การนำไฟฟ้าในหลัก $10^7 (\Omega\text{-m})^{-1}$ ทำการนำไฟฟ้าต่ำมาก $10^{-10} - 10^{-20} (\Omega\text{-m})^{-1}$ จะเป็นจนวนไฟฟ้า ในสัมประสิทธิ์การนำไฟฟ้าที่ระดับ $10^{-6} - 10^4 (\Omega\text{-m})^{-1}$ จะเป็นวัสดุกึ่งตัวนำ [26] ดังรูป 2.4



รูป 2.4 สภาพการนำไฟฟ้าของวัสดุต่างๆ [27]

โดยที่ค่าสัมประสิทธิ์การนำไฟฟ้า (σ) จะหาได้จาก สมการที่ 2.10 ที่เป็นส่วนกลับของค่าสัมประสิทธิ์ความด้านทานไฟฟ้า ซึ่งจะเป็นตัวบ่งชี้ความสามารถในการนำไฟฟ้าของวัสดุ และความหนาแน่นของกระแส หาได้จากสมการที่ 2.11

$$\sigma = \frac{1}{\rho} \quad (2.10)$$

$$J = \sigma \xi \quad (2.11)$$

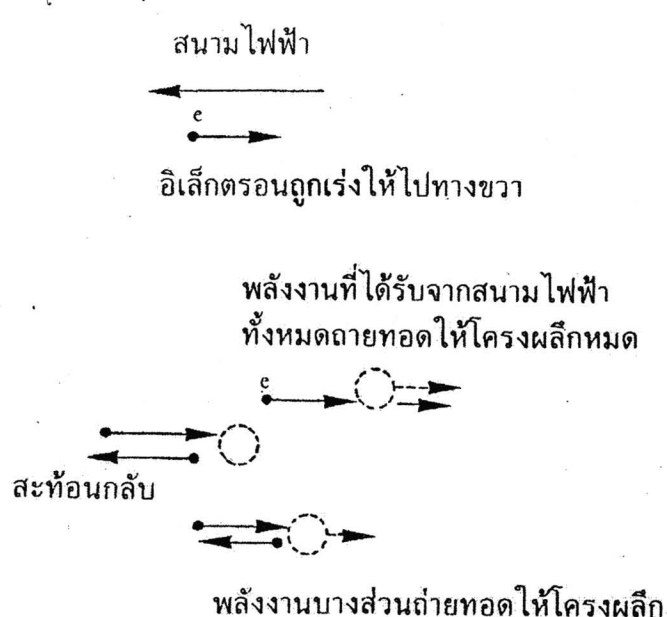
เมื่อ J คือ ความหนาแน่นของกระแส หรือกระแสต่อหนึ่งหน่วยพื้นที่ (I/A)

ξ คือ ความเพิ่มขึ้นของกระแสไฟฟ้า หรือ ความต่างศักย์ระหว่าง 2 จุดหารด้วย

$$\text{ระยะทางระหว่าง } 2 \text{ จุดนั้น } \xi = \frac{V}{l}$$

2.5.2 การนำไฟฟ้าโดยอิเล็กตรอนและไอออน [26,28]

ในการที่มีสนามไฟฟ้าจากภายนอกกระทำต่อวัสดุ จะทำให้เกิดกระแสไฟฟ้าขึ้นเนื่องจาก การเคลื่อนตัวของอนุภาคที่มีประจุไฟฟ้า อนุภาคที่มีประจุบวกถูกเร่งไปในทิศทางเดียวกับ สนามไฟฟ้า ส่วนอนุภาคที่มีประจุลบจะไปในทิศทางตรงกันข้าม ดังรูป 2.5 ในวัสดุของแข็งส่วน ใหญ่ การนำไฟฟ้าโดยอิเล็กตรอน (electronic conduction) เป็นกระแสไฟฟ้าที่เกิดจากการเคลื่อน ตัวของอิเล็กตรอน ส่วนวัสดุไอออนิกหรือวัสดุที่ประกอบด้วยไอออน การเคลื่อนตัวของไอออนที่ มีประจุทำให้เกิดกระแสไฟฟ้าจะเป็นการนำไฟฟ้าโดยไอออน (ionic conduction)



รูป 2.5 การเคลื่อนที่ของอนุภาคที่มีประจุไฟฟ้า [28]

ในตาราง 2.1 แสดงสภาพการนำของวัสดุประเภทต่างๆ สำหรับการนำพาของประจุไฟฟ้า ในของแข็งนี้ เราสามารถแบ่งได้เป็น 2 กลุ่มหลักได้แก่ การนำแบบอิเล็กทรอนิกส์ (electronic conduction) หรือการนำด้วยอิเล็กตรอน และการนำแบบไอออนิก (ionic conduction) หรือการนำด้วยไอออน

ตาราง 2.1 แสดงสภาพการนำของวัสดุประเภทต่างๆ

ประเภทวัสดุ	ตัวอย่าง	ระดับของ สภาพการนำ	$d \sigma / dT$	ชนิดของพาหะ
โลหะ	Ag, Cu	สูง	น้อย, ติดลบ	อิเล็กตรอน
สารกึ่งตัวนำ	Si, Ge	ปานกลาง	มาก, เป็นบวก	อิเล็กตรอน
สารกึ่งตัวนำ	ZrO ₂	ปานกลาง	มาก, เป็นบวก	ไอออนหรืออิเล็กตรอน
อนวน	Al ₂ O ₃	ต่ำมาก	มหาศาล, เป็น บวก	ไอออนหรืออิเล็กตรอน มักจะเป็นแบบผสมกัน

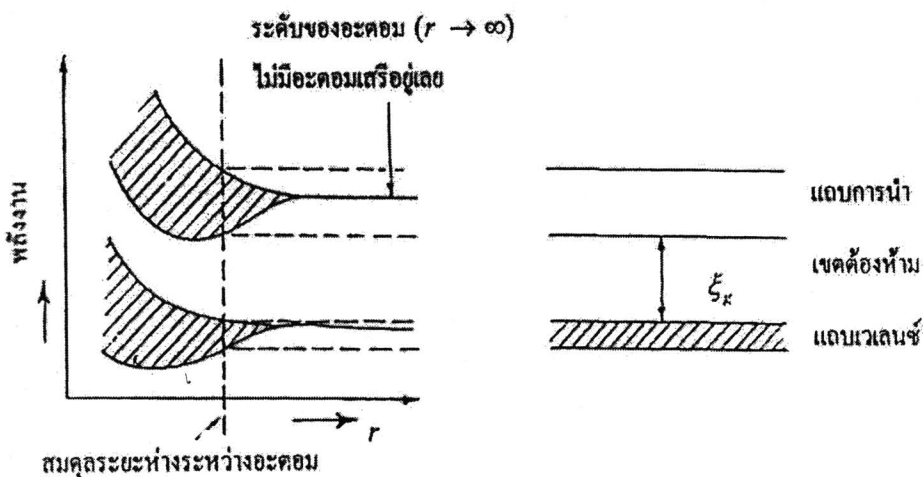
2.5.2.1 การนำแบบอิเล็กทรอนิกส์ (electronic conduction) [22-25, 29-31]

2.5.2.1.1 การนำของแบบพลังงาน (band conduction)

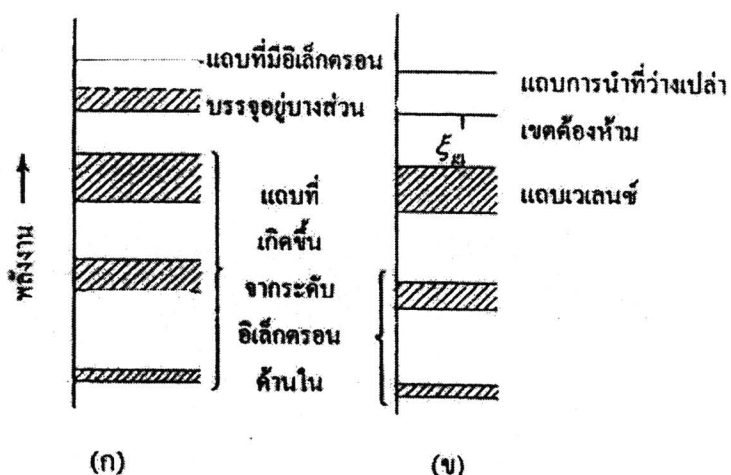
เมื่ออะตอมจำนวนมากเกิดการอัดตัวกันแน่นจนเกิดเป็นผลึก กลศาสตร์ควบคุมตั้มได้บ่งบอกว่า ระดับพลังงานของอิเล็กตรอนแบบไม่ต่อเนื่องที่อยู่ใกล้ชนิดกันในスペกตรัมของพลังงาน พลกุณของสถานะพลังงานที่เป็นไปได้ในขณะที่อะตอมกำลังเคลื่อนเข้าหากัน ได้แสดงเป็นแผนภาพไว้ในรูป 2.5 โดยทั่วไปแล้วแต่ละແบนนี้จะถูกแยกออกจากกันด้วยเขตต้องห้าม (forbidden zone) ซึ่งเป็นบริเวณหรือย่านในスペกตรัมของพลังงานที่ต้องห้ามสำหรับอิเล็กตรอน ถึงแม่ว่าจะมีกรณีที่มีแบบช่องกันอยู่ก็ตาม

จากการนำหลักทางสถิติของเฟรนนี (Fermi statistics) มาใช้กับการแจกแจงของอิเล็กตรอนในสถานะที่พลังงานต่างๆ ทำให้เกิดเป็นແบนของพลังงานเพื่อทำความเข้าใจในสมบัติทางอิเล็กทรอนิกส์ของของแข็ง พนว่าที่อุณหภูมิของศาสัมบูรณ์นี้ บางແบนพลังงานจะมีอิเล็กตรอนบรรจุอยู่เต็มและบางແบนพลังงานก็ว่างเปล่า นอกจากนี้ແบนพลังงานที่มีอิเล็กตรอนบรรจุอยู่เพียงบางส่วนก็สามารถเป็นไปได้เช่นกัน โดยที่ແบนดังกล่าวเหล่านี้มีความเกี่ยวข้องกับอิเล็กตรอนวงนอกหรือในช่องของอิเล็กตรอนเท่านั้น ขณะที่อิเล็กตรอนซึ่งอยู่ลึกลงไปในแกนกลาง

ของเซลล์ (shell) นั้น จะไม่มีส่วนเกี่ยวข้องกับกระบวนการนำไฟฟ้าที่กล่าวถึงนี้แต่อย่างใด สำหรับสถานะที่เป็นไปได้ที่ได้กล่าวมาในข้างต้นนั้นได้แสดงเป็นแผนผังไว้ในรูป 2.6 ด้วย



รูป 2.6 แสดงระดับพลังงานของอะตอมต่าง ๆ ที่มีค่าพลังงานใกล้เคียงกันเมื่อรวมเข้าด้วยกันจะเกิดเป็นแบบกว้าง ๆ ของบรรดาระดับพลังงานที่มีค่าพลังงานแตกต่างกันเพียงเล็กน้อยในขณะที่อะตอมเสรีจะมีการอัดตัวกันแน่นจนเกิดเป็นผลึก และโครงสร้างแบบพลังงานที่สมดุลของระยะห่างระหว่างอะตอมในผลึก [22]



รูป 2.7 แผนผังโครงสร้างแบบพลังงานของอิเล็กตรอนสำหรับผลึกของ (g) โลหะ และ (h) สารกึ่งตัวนำหรือของ半導 [22]



ถ้าหากว่าแบบพลังงานมีอิเล็กตรอนบรรจุอยู่เพียงบางส่วน บรรดาอิเล็กตรอนที่มีอยู่ในสามารถที่จะเคลื่อนที่เข้าไปสู่สถานะพลังงานสูงกว่าที่มีอยู่ได้ ดังนั้นอิเล็กตรอนที่อยู่ในสถานไฟฟ้าจึงสามารถที่จะพาพลังงานลงน้ำเพิ่มเติมได้และเกิดการไหลของกระแสขึ้น (เช่นเดียวกันกับกรณีของโลหะ) อย่างไรก็ตาม ถ้าหากว่าแบบพลังงานนั้นมีอิเล็กตรอนบรรจุอยู่เต็มที่อุณหภูมิสูงของสารอนุรัตน์ อิเล็กตรอนก็ไม่สามารถจะดึงเอาพลังงานออกมาจากสถานไฟฟ้าได้และด้วยเหตุนี้เองจึงไม่มีกระแสไฟไหลเกิดขึ้น แต่ถ้าซึ่งว่างพลังงาน (เช่นในรูป 2.6 และ 2.7(ข)) ไม่ได้มีความกว้างมากจนเกินไป (เช่นมีขนาดประมาณ 1 eV) เมื่ออุณหภูมิห้อง (ซึ่งเป็นบริเวณที่มีค่า $kT \sim 0.025 \text{ eV}$) อิเล็กตรอนบางตัวก็สามารถจะถูกกระตุ้นด้วยความร้อนขึ้นข้ามผ่านซ่องว่างไปสู่แบบพลังงานที่ว่างเปล่าและทำให้เกิดการนำไฟฟ้าขึ้นมาได้ในที่สูง นอกเหนือไปจาก การมีอิเล็กตรอนที่ถูกกระตุ้นให้เข้าไปอยู่ภายในบริเวณที่เรียกว่าแบบการนำ (conduction band) และ ก็ยังมีสถานะทางอิเล็กทรอนิกส์ที่ว่างเปล่าเกิดขึ้นมาในแบบเวลน์ (valence band) ซึ่งแต่เดิมนั้นเคยมีอิเล็กตรอนบรรจุอยู่เต็ม ส่งผลให้บรรดาอิเล็กตรอนในแบบเวลน์นี้สามารถที่จะรับเอาพลังงานจากสถานไฟฟ้าเข้ามาใช้ได้แล้วในตอนนี้ ซึ่งกลไกในการแยกแยะพลังงานกันใหม่ภายในแบบเวลน์นี้เป็นที่มาของแนวคิดเรื่องการมีโอลประจุบวก (positive hole) เกิดขึ้นนั่นเอง

ถ้าหากจะพิจารณาถึงพฤติกรรมการขึ้นอยู่กับอุณหภูมิของสภาพนำทางอิเล็กทรอนิกส์ในสารกึ่งตัวนำก็จำเป็นจะต้องทำการวิเคราะห์ให้ดีก่อนว่าความหนาแน่นของพาหะนำประจุ และ สภาพเคลื่อนที่ได้ของพาหะเหล่านี้แต่ละตัวมีพฤติกรรมในการขึ้นอยู่กับอุณหภูมิเป็นอย่างไร โดยเริ่มจากการพิจารณาถึงความหนาแน่นของอิเล็กตรอน (n) ในแบบการนำและความหนาแน่นของโอล (p) ในแบบเวลน์ เมื่อสมบัติจากภายใน (intrinsic properties) ผลลัพธ์นี้มีบทบาทสำคัญที่ควรคำนึงถึงมากกว่าอิทธิพลที่เกิดจากสารเจือปนหรือจากการไม่มีปริมาณสัมพันธ์ (ในกรณีที่เป็นสารประกอบ) สภาพนำไฟฟ้าที่เกี่ยวข้องในที่นี้จะเป็นสภาพนำจากภายใน (intrinsic conductivity) ซึ่งในกรณีนี้ เมื่อเรารีบุนจากสมการที่ 2.9 เราสามารถเขียนสมการที่แสดงถึงสภาพนำไฟฟ้าจากภายในได้เป็น

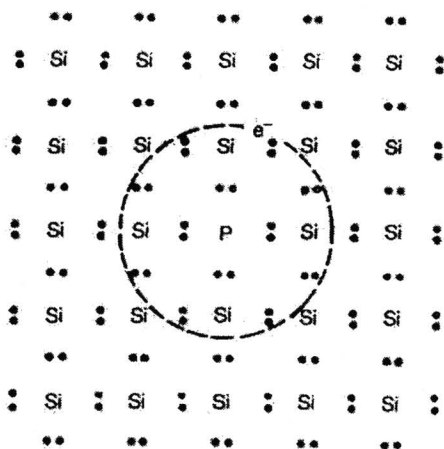
$$\sigma = B \exp\left(\frac{E_g}{2kT}\right) \quad (2.12)$$

โดยปกติแล้วการนำเสนอข้อมูลของ σ (T) จะนิยมใช้กราฟระหว่าง $\log \sigma$ กับ T

สำนักงานคณะกรรมการวิจัยแห่งชาติ
ห้องสมุดงานวิจัย
วันที่..... 21 S.C. 2554
เลขทะเบียน..... 242987
เลขเรียกหนังสือ.....

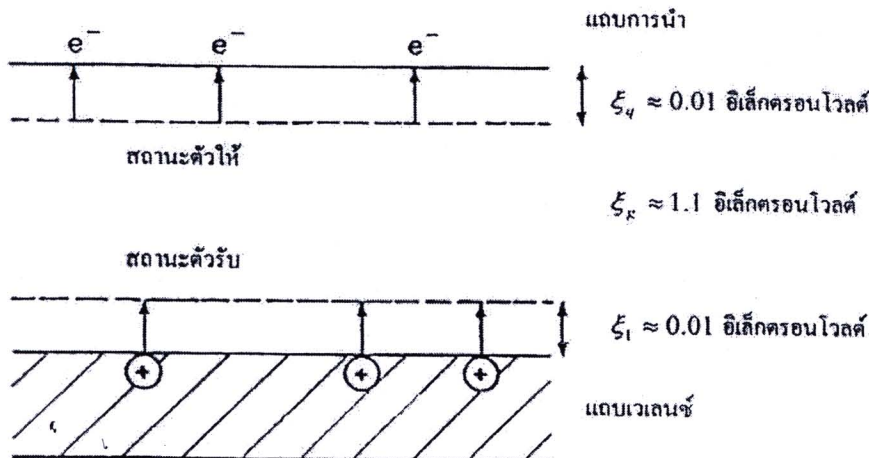
2.5.2.1.2 ผลของสารเจือ (the effect of dopants)

การเติมอะตอมของสารเจือในปริมาณน้อยๆ ลงไปในสารกึ่งตัวนำนี้ สามารถส่งผลอย่างมากมายกับสภาพนำไฟฟ้าของสารกึ่งตัวนำ พิจารณาพลีกของซิลิคอนที่มีอะตอมสมบุคิว่าเป็นฟอสฟอรัส (P) เข้ามาแทนที่ของเศษส่วนปริมาณน้อยๆ ของอะตอม Si เนื่องจากอะตอมของ P นั้นมีค่าเวลน์ช็อกอิเล็กตรอนเท่ากับ 5 ในขณะที่การเกิดพันธะของคู่อิเล็กตรอนกับอะตอม Si ที่อยู่ข้างเคียงกันนั้นจำเป็นต้องใช้อิเล็กตรอนเพียงแค่ 4 ตัว ทำให้อิเล็กตรอนตัวที่เกินมาไม่สามารถยึดเกาะอยู่อย่างไม่แข็งแรงเท่ากับตัวอื่น ๆ และสามารถทำการประมาณค่าพลังงานยึดเหนี่ยว (binding energy) ของอิเล็กตรอนดังกล่าวได้ จากการพิจารณาว่าอิเล็กตรอนนั้นมีการยึดเกาะอยู่กับสิ่งที่มีค่าประจุบวกเป็นช่วงหนึ่ง ($+e$) ซึ่งก็คือไอออน P^{5+} ที่อยู่บนตำแหน่งแลตทิชของ Si^{4+} ดังแสดงในรูป 2.8



รูป 2.8 พลีกของซิลิคอนที่เจือด้วย P^{5+} ทำให้เกิดความบกพร่องชนิด P_{Si}^* [22]

การเจือฟอสฟอรัสลงไปในซิลิคอนจึงเป็นวิธีการที่ทำให้มีสถานะตัวจ่าย (donor state) เกิดขึ้นมาที่ตำแหน่งต่ำลงมากจากค่าน้ำด่างของแอบการนำประมาณ 0.01 eV ดังแสดงในรูป 2.9 และทำให้วัสดุดังกล่าวมีสภาพกึ่งตัวนำชนิดเอ็น (n-type) เกิดขึ้น



รูป 2.9 อิทธิพลของสารเจือชนิดอื่นและชนิดพิที่มีต่อโครงสร้างແນบพลังงานของสารกึ่งตัวนำ [25]

การเดินอะตอมที่มีประจุสามบวก (trivalent atom) อย่างเช่น โบรอน (B^{3+}) ลงไปในชิลิกอนจะทำให้เกิดสถานะของอิเล็กตรอนที่ว่างเปล่าหรือมีໂ孝ลประจุบวกขึ้นมา ซึ่งสามารถจะเกิดการแตกตัวเป็นไอออน ในที่นี้จะมีค่าประมาณ 0.01 eV เช่นเดียวกัน ดังนั้นการเจือโบรอนลงไปในชิลิกอนจึงเป็นวิธีการที่ทำให้วัสดุนั้นมีสถานะตัวรับ (acceptor state) เกิดขึ้นมาที่ตำแหน่งเหนืออีน้ำไปจากค่านบนของແນบเวลาเลนซ์ประมาณ 0.01 eV ดังแสดงในรูป 2.9 และทำให้มีสภาพกึ่งตัวนำชนิดพิ (p-type) ในกรณีของสภาพกึ่งตัวนำชนิดอื่นหรือชนิดพินี้นพุติกรรมในการเปลี่ยนแปลงกับค่าอุณหภูมิของสภาพนำจะมีความคล้ายคลึงกันกับในสมการที่ 2.12 โดยการแทนที่ของ E_g ด้วย E_i

2.5.2.1.3 การนำของโพลารอน (polaron conduction)

แบบจำลองແນบพลังงานก็ไม่ได้มีความหมายสมกับสารกึ่งตัวนำทุกชนิดเสมอไป สำหรับอิเล็กตรอนและໂ孝ลนี้ก็ยังสามารถพิจารณาได้ว่าเป็นการกระโดด (hopping) จากตำแหน่งหนึ่งไปยังอีกตำแหน่งหนึ่ง ซึ่งการนำแบบกระโดดนี้จะเกิดขึ้นก็ต่อเมื่อปริมาณไอออนชนิดเดียวกันแต่ต่างกันอย่างเป็นเอกภาพปรากฏขึ้นมาบนตำแหน่งของแลตทิซ

อย่างสมมูลกัน ซึ่งมักพบได้ง่ายในสารประกอบกลุ่มออกไซด์ของพากโลหะทรายชิ้น กรณีศึกษา ในเรื่องนี้สามารถอ้างอิงได้จากสาร NiO

การเติม Li₂O ลงไปในสาร NiO จะช่วยให้สารมีสภาพนำไฟฟ้าสูงขึ้น โดยไอออนลิตเทียม Li⁺ (ขนาด 74 พิโคลเมตร) จะเข้าไปแทนที่ ไอออนนิกเกต Ni²⁺ (ขนาด 69 พิโคลเมตร) ถ้าสารผ่านนี้ ผ่านกระบวนการเผาภายนอกจะได้ภาวะแบบออกซิไดซ์ก็จะได้ว่า ทุกๆ ไอออน Li⁺ ที่เติมลงไปจะมีหนึ่ง Ni²⁺ ถูกกระตุนให้ไปอยู่ที่สถานะ Ni³⁺ เสมอ โดยอิเล็กตรอนที่ถูกปล่อยออกจากนั้นจะเข้าไปอยู่ภายในสถานะ 2p ที่ແນວเวลาเดียวกับของอิเล็กตรอนทำให้เกิดพารามิทึ้งไอออน Ni²⁺ และ Ni³⁺ อยู่บนตำแหน่งที่สมมูลกัน และเป็นสภาวะตามแบบจำลองของการนำคัวยการกระแสไฟฟ้าของโพลารอน (polaron hopping)

ไอออน Ni³⁺ จะทำให้เกิดพารามิทึ้งอยู่รอบๆ นั้น มีพฤติกรรมการเกิดขึ้นแบบบางๆ ปรากฏขึ้นมา คำว่า “โพลารอน” ในที่นี่หมายถึง บริเวณที่ประกอบด้วย ไอออน Ni³⁺ กับส่วนเหลือที่ไม่อยู่ในกรอบๆ ที่มีการเกิดขึ้นมา โพลารอนนี้สามารถถูกกระตุนทางความร้อนจาก ไอออน Ni³⁺ จนกลายเป็น ไอออน Ni²⁺ ได้โดยมีการถ่ายโอนอิเล็กตรอนที่สมมูลกันจาก ไอออน Ni²⁺ ไปยัง ไอออน Ni³⁺ ซึ่งกลไกการนำดังกล่าวมานี้จะมีความแตกต่างไปจากการนำคัวยแบบพลังงาน เช่น ในกรณีการกระแสไฟฟ้า ความเข้มข้นของพาหะจะถูกกำหนดโดยระดับการเจือเท่านั้น ไม่ขึ้นอยู่กับการเปลี่ยนแปลงของอุณหภูมิ ในขณะที่สภาพการเคลื่อนที่ได้ของพาหะนั้นขึ้นกับอุณหภูมิ

2.5.3 การนำแบบไอออนิก (ionic conduction) [22-25]

การนำแบบไอออนิกนี้จะขึ้นอยู่กับตำแหน่งของช่องว่างที่ ไอออนสามารถเคลื่อนที่เข้าไปได้ในขณะที่ยังไม่มีการให้สานานภายนอก การสั่นเริงความร้อนจะเป็นสัดส่วนกับ kT ส่งผลให้ ไอออนและช่องว่างมีการแลกเปลี่ยนตำแหน่งกัน ลักษณะเด่นที่ส่งผลต่อสภาพเคลื่อนที่ได้แบบไอออนิกคือการมีประจุไม่นำมาก มีขนาดเล็กและรวมถึงรูปทรงเรขาคณิตของแลตทิซ ไอออนที่มีประจุสูงมากจะเกิดขึ้นขณะที่เคลื่อนตัวผ่าน ไอออนที่มีค่าประจุตรงกันข้าม และสิ่งนี้ก็ทำให้ กำแพงมีพลังงานสูงขึ้นจนทำให้การเปลี่ยนแปลงตำแหน่งนั้นเกิดได้ยาก การเคลื่อนที่ของ ไอออนขนาดใหญ่จะถูกขัดขวางเอาไว้ในลักษณะเดียวกัน โดยจะเกิดอันตรกิริยะระหว่างอิเล็กตรอนวงนอกของ ไอออนขนาดใหญ่กับของ ไอออนที่อยู่ระหว่างเดินทางในการเคลื่อนที่ไปยังตำแหน่งใหม่ ซึ่งในโครงสร้างบางประเภทนี้อาจจะมีช่องหรือโพรงที่ช่วยเพิ่มพื้นที่สำหรับการเคลื่อนตัวของ ไอออน

ตัวแหน่งของช่องว่างที่เกิดขึ้นจะช่วยเสริมกลไกการนำไฟฟ้า เนื่องจากว่าเป็นการเพิ่มความเป็นไปได้ที่ไอออนจะสามารถเคลื่อนที่จากตำแหน่งที่อยู่ข้างเคียงกันเข้าไปอยู่ในช่องว่าง ผลให้เกิดการเคลื่อนที่ไปในทิศทางที่ตรงกันข้ามกับของไอออน ดังเช่นในกรณีของแอลทิโซอกซิเจนเนื่องจากว่า ไอออนบวกที่มีขนาดเล็กกว่านั้น จะไม่แสดงกำแพงขนาดใหญ่กีดกันกระบวนการอย่างไรก็ตาม ไอออนบวกนั้นโดยปกติจะเคลื่อนตัวผ่านช่องขนาดเล็กๆที่อยู่ระหว่างไอออน O^2- จำนวน 3 ไอออน เพื่อไปปั้งช่องว่าง ไอออนบวกใดๆที่อยู่ข้างเคียงกัน และใช้เดี่ยมครอไรด์ ($NaCl$) ที่เป็นวัสดุที่มีความเหมาะสมอย่างยิ่งสำหรับการอภิปรายในเรื่องนี้ เนื่องจากเป็นวัสดุที่ได้รับความสนใจศึกษา กันอย่างมาก โดยแล้วทิชจะมีความนักพร่องแบบซอต์กีอยู่แต่ว่า $V_{Na} (Na^+ \text{ มีค่า } r_s = 102 \text{ พิโคเมตร})$ นั้นจะสามารถเคลื่อนที่ได้ดีกว่า $V_{Cl^-} (Cl^- \text{ มีค่า } r_s = 181 \text{ พิโคเมตร})$ ดังนั้นจึงสามารถจะพิจารณาการนำพาประจุในกรณีนี้ได้ว่า ส่วนใหญ่นั้นเกิดจากการเคลื่อนที่ของ V_{Na}

การเติมสารเจือลงไว้ในผลึกนั้นอาจจะทำให้เกิดช่องว่างขึ้นในโครงสร้าง ยกตัวอย่างเช่น การเติมสาร $SrCl_2$ ลงใน $NaCl$ จะทำให้เกิดช่องว่าง Na สำหรับทุกๆ ไอออน Sr ที่ได้เดิมเข้าไปภายในได้เงื่อนไขเหล่านี้ ตลอดจนถึงระดับของสารเจือและอุณหภูมิ ความเข้มข้นของความนักพร่องจากภายนอกนั้นอาจจะมีค่าสูงกว่าในกรณีของช่องว่างจากภายในและไม่ขึ้นกับการเปลี่ยนแปลงของอุณหภูมิ

2.5.4 กำแพงพลังงานแบบซอต์กี (Schottky barriers)

อิเล็กตรอนในของแข็งที่อยู่ในสมดุลทางความร้อนโดยปกติจะเป็นไปตามหลักทางสถิติของเฟร์นี-ดิแรค (Fermi-Dirac statistics) โดยมีความน่าจะเป็น $F(E)$ ที่สถานะของพลังงาน E จะถูกเข้าครอบครองตามฟังก์ชันของเฟร์นี-ดิแรค (Fermi-Dirac function) ที่ว่า

$$F(E) = \left\{ \exp \left(\frac{E - E_F}{kT} \right) + 1 \right\}^{-1} \quad (2.13)$$

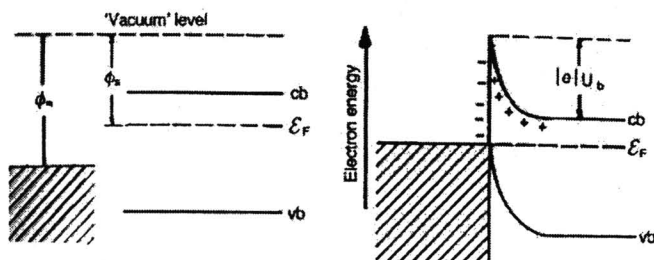
เมื่อ E_F คือพลังงานเฟร์นี

สมบัติที่สำคัญของ E_F ก็คือ จะมีค่าคงที่ทั่วทั้งระบบสำหรับระบบที่อยู่ในสมดุลความร้อนในกรณีของโลหะที่อุณหภูมิ 0 เคลวินนั้น อิเล็กตรอนจะเข้าไปยึดครองสถานะต่างๆ จนกระทั่งมาถึงที่ระดับพลังงานเฟร์นีและทำให้บรรดาอิเล็กตรอนที่มีค่าพลังงานสูงสุดมีพลังงานคงนี้เป็น E_F สำหรับพลังงาน φ_m ที่ต้องใช้ในการเคลื่อนย้ายอิเล็กตรอนจากที่ระดับพลังงานเฟร์นีไปยังจุดที่อยู่ข้างนอกโลหะซึ่งมีค่าพลังงานคงนี้เป็นศูนย์ (ระดับที่เป็นสุญญากาศ) เรียกว่า พังก์ชันงาน (work function) ของโลหะ เมื่ออิเล็กตรอนถูกกระตุ้นด้วยความร้อนจนหลุดออกจากสารกึ่งตัวนำ ค่าพังก์ชันงานยังคง φ_s ของสารกึ่งตัวนำก็จะเป็นความแตกต่างของค่าพลังงานระหว่างพลังงานเฟร์นีและระดับที่เป็นสุญญากาศนั้นเอง

2.5.4.1 ผิวสัมผัสรีyangกระแส (rectifying contact)

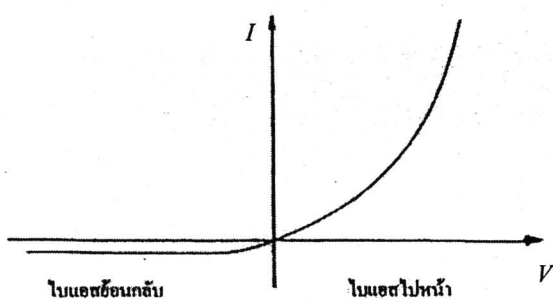
แนวคิดที่สำคัญต่อ ๆ นี้ได้มีการนำเสนอไว้แล้วเป็นอย่างดี ด้วยการพิจารณาถึงผลของการสร้างรอยต่อขึ้นมาระหว่างโลหะกับสารกึ่งตัวนำชนิดเดิมและสมมติฐานที่ว่า $\varphi_m > \varphi_s$ ซึ่งสถานะทั้งก่อนและหลังการเชื่อมต่อกันนั้นได้แสดงไว้ในรูป 2.10 เมื่อมีการเชื่อมต่อกันเกิดขึ้น อิเล็กตรอนก็จะเกิดการไหลจากสารกึ่งตัวนำไปยังโลหะจนกระทั่งพลังงานเฟร์นีนั้นมีค่าคงที่ทั่วทั้งระบบเนื่องจากพิกัดที่สองบนแผนภาพนี้แสดงถึงพลังงานของอิเล็กตรอน ยิ่งระบบมีความเป็นลบมากก็ยิ่งจะเข็นไฟอยู่บนแผนภาพของพลังงานที่สูงมากขึ้นตามไปด้วย ในบริเวณรอบๆ รอยต่อซึ่งปกติจะอยู่ในช่วง 10^{-6} ถึง 10^{-8} เมตร ทั้งนี้เข็นอยู่กับความเข้มข้นของสารเจือชนิดเดิม โดยที่ตัวให้จะเกิดการแตกตัวเป็นไอออนทำให้เกิดประจุจราคะที่เป็นบวก (positive space charge) และส่งผลต่อค่าความแตกต่างระหว่างศักย์ของแอบน้ำที่อยู่ใกล้กับรอยต่อและค่าแรงดูดที่ถูกเคลื่อนย้ายออกไป บรรดาอิเล็กตรอนที่มีการเคลื่อนที่เข็นไฟยังบริเวณรอบต่อจากสารกึ่งตัวนำ จะต้องเจอกับกำแพงพลังงานที่เรียกว่า กำแพงหรือแนวขวางกั้นแบบชอตค์ (Schottky barrier) ที่สูง $|e|U_h$ อิเล็กตรอนที่มีการเคลื่อนตัวจากโลหะไปยังสารกึ่งตัวนำจะต้องเอาชนะกำแพงพลังงานที่สูงมากกว่า ซึ่งที่จุดสมดุลนี้กระแสของอิเล็กตรอนที่ถูกกระตุ้นด้วยความร้อนจากโลหะ ไปยังสารกึ่งตัวนำและจากสารกึ่งตัวนำไปยังโลหะจะเท่ากันพอดี การรวมตัวกันของอิเล็กตรอนเป็นจำนวนมากในโลหะที่พยากรณ์จะข้ามกำแพงพลังงานขนาดใหญ่นั้นจะมีความพอดี

กับกับบรรดาอิเล็กตรอนที่มีจำนวนน้อยกว่าซึ่งอยู่ภายในสารกึ่งตัวนำและพยายามจะข้ามกำแพงพลังงานที่มีขนาดเล็กกว่า



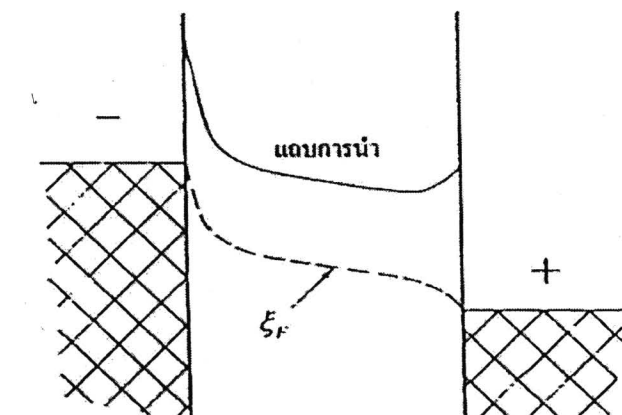
รูป 2.10 รอยต่อระหว่างโลหะกับสารกึ่งตัวนำชนิดอื่น ($\phi_m > \phi_s$) ในสภาวะ
(ก) ก่อน และ(ข) หลังการเชื่อมต่อกัน [22]

ถ้าหากว่ามีการใช้แบบเตอรีสร้างความต่างศักย์ไฟฟ้าต่อกันบริเวณรอยต่อในลักษณะที่ทำให้สารกึ่งตัวนำนั้นมีศักย์เป็นบวกที่น้อยกว่า มีความสูงของกำแพงพลังงานที่ต่ำกว่า และมีอิเล็กตรอนที่ถูกกระตุ้นให้ข้ามผ่านไปได้มากกว่า อัตราการเคลื่อนที่ผ่านกำแพงพลังงานของอิเล็กตรอน (กระแส) จะขึ้นอยู่กับความสูงของกำแพงพลังงานที่เป็นเลขชี้กำลัง แต่ย่างไรก็ตามถ้าสารกึ่งตัวนำนั้นถูกไนแอสในเชิงบวก ความสูงของกำแพงพลังงานก็จะเพิ่มขึ้นและทำให้รอยต่อดังกล่าวมีสภาพคล้ายเป็นฉนวนที่มีประสิทธิภาพซึ่งมีอยู่สองกรณีที่กล่าวถึงกัน คือ การไนแอสไปหน้า (forward biasing) และการไนแอสข้อนกลับ (reverse biasing) โดยมีลักษณะเฉพาะของความสัมพันธ์ระหว่างกระแสกับความต่างศักย์เป็นดังแสดงในรูป 2.11



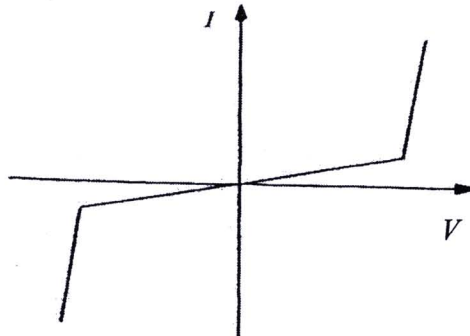
รูป 2.11 ลักษณะเฉพาะของความสัมพันธ์ระหว่างกระแสกับความต่างศักย์สำหรับ
ผิวสัมผัสเรียงกระแส (rectifying contact) ที่เป็นโลหะ-สารกึ่งตัวนำ [25]

ข้าไฟฟ้าโลหะสองอันที่ประกับกัน โดยมีสารกึ่งตัวนำอยู่ตรงกลางจะแสดงแนววางกันข้างผลที่คล้ายคลึงกัน โดยไม่เลือกพิจารณาถึงอิทธิพลของความต่างศักย์ที่ให้เข้าไป ดังเช่นที่แสดงในรูป 2.12 ซึ่งที่ความต่างศักย์ต่ำจะมีค่าความด้านทานสูงเนื่องจากว่าจะมีอิเล็กตรอนเพียงไม่กี่ตัวที่สามารถข้ามผ่านกำแพงพลังงานไปได้ แต่ว่าความด้านทานจะมีค่าต่ำลงเมื่อความต่างศักย์นั้นเพิ่มขึ้นมาจนถึงจุดที่อิเล็กตรอนสามารถข้ามผ่านกำแพงพลังงานของโลหะ-สารกึ่งตัวนำด้วยอัตราเร็วที่มีความสำคัญซึ่งจะได้ลักษณะเฉพาะดังแสดงในรูป 2.13 และมีความคล้ายคลึงกันกับในกรณีของการใช้ตัวเรียงกระแสสองตัวที่หันหลังหนันกัน



รูป 2.12 สารกึ่งตัวนำชนิดเดื่นที่อยู่ตรงกลางระหว่างข้าไฟฟ้าโลหะสองอัน [25]

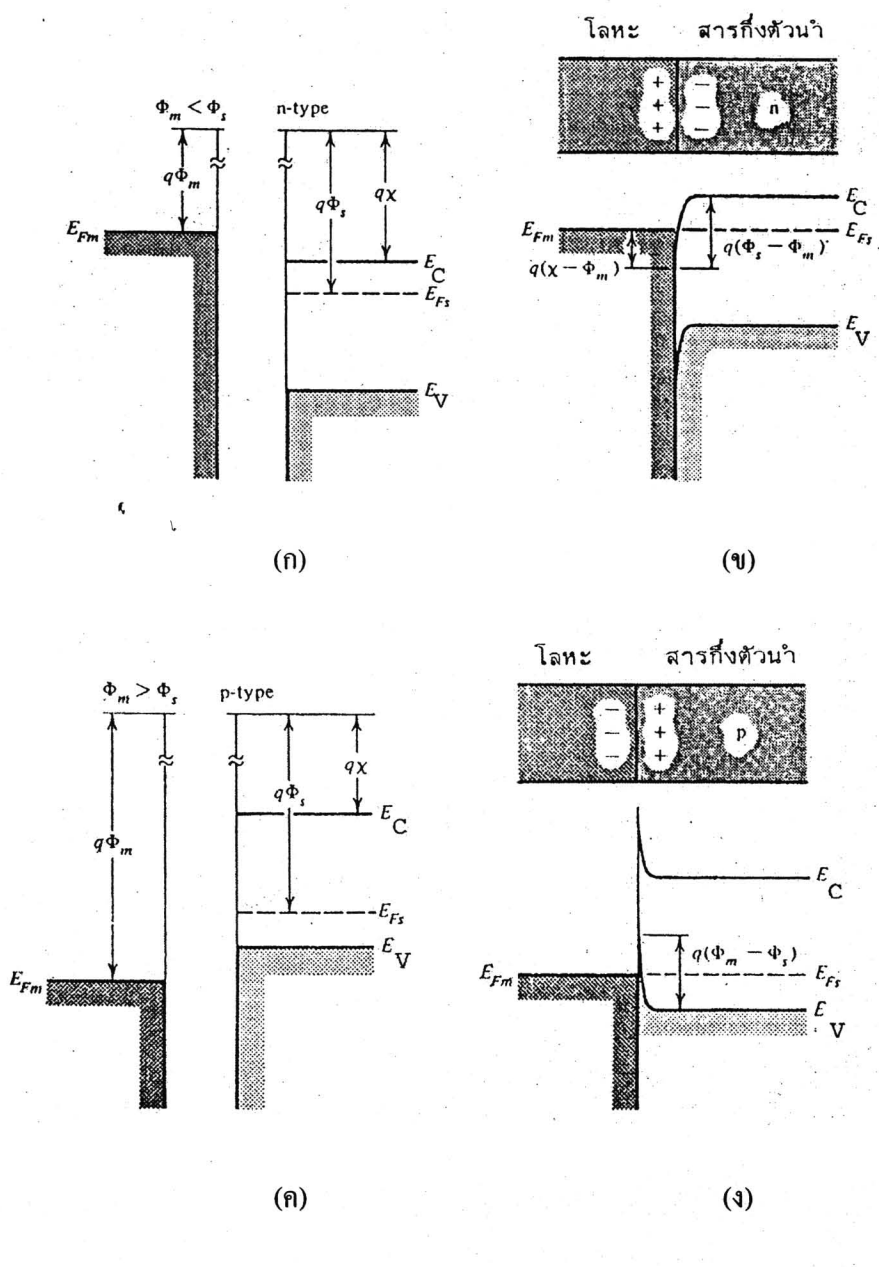
ประเด็นที่ค่อนข้าง слับซับซ้อนและไม่ค่อยจะได้รับการใส่ใจมากนักในระหว่างที่มีการอภิปรายมักจะเกี่ยวข้องกับเรื่องสถานะของพื้นผิว (surface states) ซึ่งที่บริเวณพื้นผิวของสารตัวนำนั้นจะมีการจัดเรียงกันในระดับอะตอมที่แตกต่างไปจากบริเวณที่อยู่ภายในเนื้อผลึก เนื่องจากผลของความไม่ต่อเนื่องกัน จึงส่งผลทำให้บรรดาอิเล็กตรอนในอะตอมที่อยู่ตรงพื้นผิวนี้มีการครอบครองสถานะพลังงานเฉพาะที่ (localized energy states) ค่อนข้างจะแตกต่างไปจากอิเล็กตรอนในอะตอมที่อยู่ภายในเนื้อของผลึก เมื่อมีการเติมอะตอมของพวกสารเข้าซึ่งต่างกันมีสถานะของพลังงานเฉพาะที่คงไป อะตอมเหล่านี้ก็จะถูกดูดซับแบบลงบนพื้นผิวของสารกึ่งตัวนำทันที



รูป 2.13 ลักษณะเฉพาะของความสัมพันธ์ระหว่างกระแสและความต่างศักย์ในกำแพงพลังงานแบบชดตัดที่หันหลังชนกัน (back-to-back Schottky barrier) [22]

2.5.4.2 ผิวสัมผัสไอโหนนิก (Ohmic Contacts) [36]

ผิวสัมผัสไอโหนนิกคือ มีลักษณะสมบัติกระแสรงดันเป็นแบบเส้นตรงทั้งสองทิศทางของการไปออก เป็นไอโหนนิกซึ่งมีความต้านทานน้อยที่สุด และไม่มีแนวโน้มที่จะเรียงกระแส ผิวสัมผัสโลหะ-สารกึ่งตัวนำโดยอุณหภูมิจะเป็นไอโหนนิกคือเมื่อมีประจุที่ถูกเหนี่ยวนำขึ้นเพื่อการทำให้ระดับเฟอร์นิอยู่ในแนวเดียวกันเกิดจากพาหะข้างมาก (รูป 2.14) ยกตัวอย่างในการผิวสารอินที่มี $\Phi_m < \Phi_s$ (รูป ก) การเรียงเป็นเส้นตรงระดับเฟอร์นิที่สภาวะสมดุลจะเกิดโดยการเคลื่อนย้ายอิเล็กตรอนจากโลหะเข้าสู่สารกึ่งตัวนำ ซึ่งเป็นการทำให้พลังงานของอิเล็กตรอนในสารกึ่งตัวนำมีค่าสูงขึ้น (ศักย์ไฟฟ้าสถิตมีค่าต่ำลง) เมื่อเทียบกับโลหะที่สภาวะสมดุล (รูป ข) ในกรณีนี้กำแพงที่กั้นการไหลของอิเล็กตรอนจะต่ำ ทำให้เกิดการไหลข้ามกำแพงได้ง่ายแม้ว่าแรงดันไฟฟ้าที่ใส่เข้ามาจะมีต่ำ สำหรับสารพิที่มี $\Phi_m > \Phi_s$ จะทำให้ไฮดราลิคข้ามหัวต่อได้ยาก (รูป ง) ผิวสัมผัสจะต้องกับผิวสัมผัสแบบชดตัดที่แบเรียคือ จะไม่มีย่านปลดคลพาหะเกิดขึ้นในสารกึ่งตัวนำ เนื่องจากการจัดระดับพลังงานเฟอร์นิให้เป็นเส้นตรงที่สมดุลเกิดจากพาหะข้างมากในสารกึ่งตัวนำ ในการสร้างผิวสัมผัสแบบไอโหนนิกสามารถทำโดยการเติมสารเจือปนจำนวนมากลงไปในบริเวณผิวสัมผัส แม้จะเกิดกำแพงขึ้นที่บริเวณระหว่างผิว (interface) ความกว้างของย่านปลดคลพาหะก็จะแคบพอที่จะทำให้พาหะลอดทะลุ (tunneling) ผ่านกำแพงไปได้



ຮູບ 2.14 ຜິວສັນຜັດໂລහະ-ສາຮກິ່ງຕ້ວນນຳແບບໄອໜົມືກ (ກ) $\Phi_m < \Phi_s$ ໃນການພຶ້ງຂອງສາຮເຈິ້ນ,
 (ຂ) ແຜນກົມືພລັງຈານຂອງຫວັດທີ່ສກາວະສນດຸດ (ຄ) $\Phi_m > \Phi_s$ ໃນການພຶ້ງຂອງສາຮພື້ ແລະ
 (ງ) ຫວັດທີ່ສກາວະສນດຸດ [36]

2.6 สภาพต้านทาน (resistivity)

สภาพต้านทานเป็นสิ่งสำคัญในการศึกษาสารกึ่งตัวนำเพื่อนำมาประยุกต์ใช้ ค่าสภาพต้านทานนั้นขึ้นอยู่กับความหนาแน่นของพาหะอิเล็กตรอน (electron) และโอล (hole) นอกจากนี้ยังขึ้นอยู่กับโมบิลิตี้ (mobility) ของอิเล็กตรอนและโอลอิกด้วย ดังนั้นการวัดค่าความหนาแน่นของอิเล็กตรอนและโอลเพื่อหาสภาพต้านทานในสารกึ่งตัวนำจึงเป็นสิ่งสำคัญมาก แต่โดยทั่วไปแล้วค่าความหนาแน่นของพาหะเป็นสิ่งที่ไม่ทราบแน่ชัด ทำให้เกิดความคิดที่จะนำเทคนิคต่างๆ เพื่อนำมาวัดค่าสภาพต้านทานขึ้น เทคนิคที่ใช้วัสดุนี้มีหลายเทคนิคด้วยกัน [32]

ความต้านทานไฟฟ้า คือ หน่วยวัดปริมาณความต้านทานกระแสไฟฟ้าของวัตถุ วัตถุที่มีความต้านทานไฟฟ้าต่ำจะยอมให้กระแสไฟ流ผ่านได้่ายเร็วกว่า ตัวนำไฟฟ้า ในขณะที่อ่อนวนไฟฟ้า มีความต้านทานไฟฟ้าสูงมาก และไม่ยอมให้กระแสไฟฟ้าไหลผ่าน ค่าความต้านทานไฟฟ้าใช้สัญลักษณ์ R มีหน่วยเป็น โอห์ม (Ω) มีค่าเป็นส่วนกลับของความนำไฟฟ้า (conductivity) หน่วยเป็นซีเมนต์ (S) จากกฎของโอลิม เปรียบความสัมพันธ์ระหว่างแรงดันไฟฟ้า (V), กระแสไฟฟ้า (I) และความต้านทาน (R) ไว้ดังนี้

$$V = IR \quad (2.14)$$

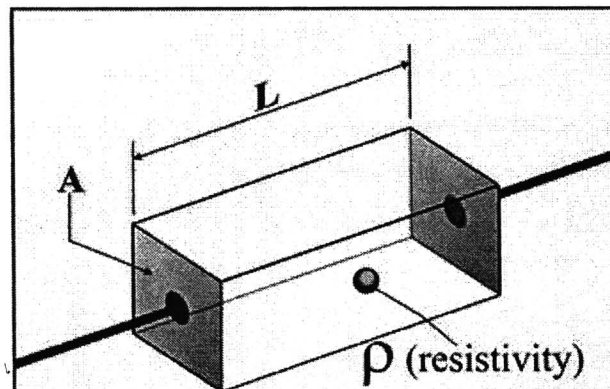
จากการวัดกับวัสดุต่างๆ ที่สภาพต่างๆ กัน มักปรากฏว่าความต้านทานไม่ขึ้นกับปริมาณกระแสไฟฟ้าหรือแรงดันไฟฟ้า กล่าวอีกนัยหนึ่งคือ มีค่าความต้านทานคงที่ ความต้านทานไฟฟ้ากระแสตรง เมื่อไฟฟ้ากระแสตรงไหลผ่านตัวนำที่มีเนื้อสมำเสมอ กระแสไฟฟ้ากระจายทั่วหน้าตัดของตัวนำนั้น สามารถเขียนสูตรของความต้านทานได้เป็น

$$R = \rho(l/A) \quad (2.15)$$

$$\rho = l/\sigma \quad (2.16)$$

เมื่อ R คือ ความต้านทานต่อกระแสไฟฟ้า หน่วย Ω
 ρ คือ ค่าสัมประสิทธิ์ความต้านทาน หน่วย $\Omega \cdot m$
 l คือ ความหนาของเม็ดเซรามิก หน่วย mm

A คือ พื้นที่หน้าตัดของเม็ดเซรามิก หน่วย mm^3
 σ คือ สัมประสิทธิ์การนำไฟฟ้า หน่วย $(\Omega\text{m})^{-1}$ หรือ $\text{S}\cdot\text{m}^{-1}$



รูป 2.15 ความด้านทานไฟฟ้าของวัสดุ [33]

ในการปฏิบัติ เพื่อความสะดวกในการคำนวณ มักจะหาค่าการนำหรือความด้านทานของวัสดุที่มีพื้นที่หน้าตัดสม่ำเสมอ (A) และยาว (l) โดยมีความสัมพันธ์ระหว่างความด้านทาน (R) ความนำ (G) และรูปร่างของวัสดุดังนี้

$$R = \rho l / A$$

$$G = \sigma A / l \quad (2.17)$$

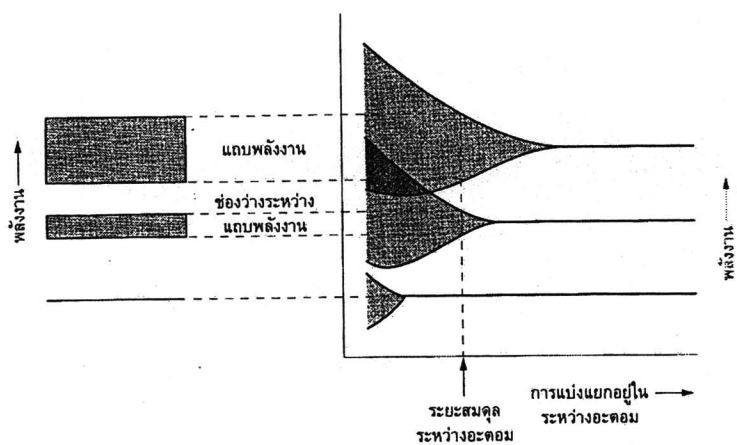
จากสมการ $j = \sigma E$ จะเห็นได้ว่า σ นั้นเป็นเทนเซอร์ (tensor) ของลำดับที่สอง ในการอภิปรายโดยปกตินั้นจะสมมติให้วัสดุมีสมบัติแบบไม่ขึ้นกับทิศทาง (isotropic) ดังนั้น j และ E จึงร่วมเส้นตรงกัน ส่วน σ ก็เป็นสเกลาร์ (scalar) จากสมการ $\sigma = nQu$ นั้น จะเห็นได้ว่าการทำความเข้าใจพฤติกรรมของ σ ในวัสดุแต่ละชนิดนั้นจำเป็นจะต้องทราบถึงปัจจัยที่เป็นตัวกำหนดค่า n , Q และ u แยกจากกันต่างหาก โดยเฉพาะการแปรผันของ σ กับอุณหภูมิ T จะถูกกำหนดด้วยลักษณะของการที่ค่า n , Q และ u นั้นขึ้นอยู่กับอุณหภูมิว่าเป็นอย่างไร ซึ่งจนถึงปัจจุบันก็ยังไม่มีหลักฐานอ้างอิงที่แน่ชัดถึงชนิดของพาราโบลิกประจุ และค่าตามที่เกิดขึ้นมาส่วนใหญ่ก็ไม่ได้ขึ้นอยู่

กับเรื่องนี้ อ้างไว้ตามพฤติกรรมทางไฟฟ้าของของแข็งนั้นมักจะขึ้นอยู่กับชนิดของพาหะนำ ประจุว่าเป็นอิเล็กตรอนหรือไอออน หรือว่าเป็นการรวมกันของทั้งสองอย่างมากกว่า [34]

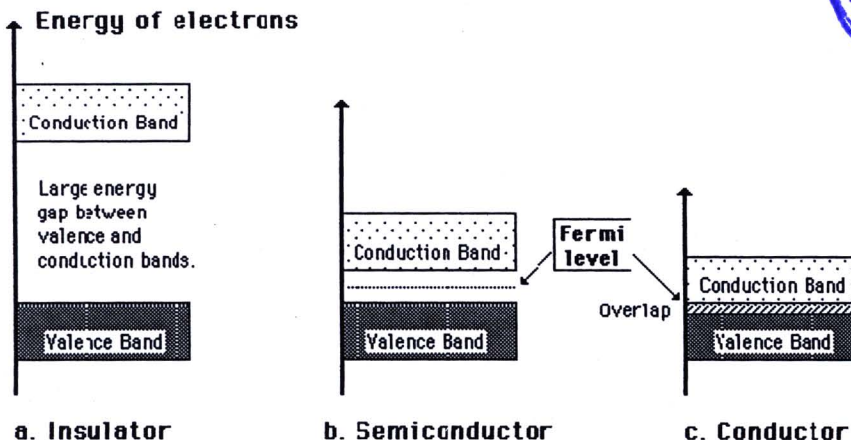
2.7 แบบพลังงานในของแข็ง (band theory of solids) [26, 34-35]

ใช้อธิบายสมบัติทางไฟฟ้าของของแข็ง โดยพิจารณาจากระดับชั้นพลังงานของอะตอม องค์ประกอบ และอันตรายระหว่างอะตอมทั้งหมดในของแข็งนั้น ตามทฤษฎีนี้อิเล็กตรอนจะสามารถมีพลังงานได้เฉพาะบางช่วง (allowed band) และไม่สามารถมีพลังงานได้ในบางช่วงที่เรียกว่า forbidden band ทฤษฎีนี้สามารถอธิบายสภาพการนำไฟฟ้าของตัวนำ (โลหะ), สารกึ่งตัวนำและอนุวนนได้

เมื่ออะตอมของสารจัดเรียงตัวในลักษณะโครงสร้างผลึก อิเล็กตรอนในแต่ละอะตอมจะถูกรบกวนโดยแรงกระทำจากอิเล็กตรอนและนิวเคลียสของอะตอมที่อยู่รอบๆ ทำให้เกิดการแบ่งชั้นพลังงานเป็นแบบพลังงานอิเล็กตรอน แยกออกเป็นแบบพลังงาน 2 แบบ ได้แก่ แบบการนำ (conduction band) และแบบวาเลนซ์ (valence band) เมื่ออะตอมอยู่ห่างกันในระยะสมดุล ระดับชั้นพลังงานที่อยู่ใกล้กับนิวเคลียสอาจไม่เกิดเป็นแบบเด้ออาจมีช่องว่างเกิดขึ้น ซึ่งอิเล็กตรอนไม่สามารถมีปริมาณพลังงานในระดับนี้ เรียกว่าระดับพลังงานนี้ว่า ช่องว่างระหว่างแบบ (band gap) หรือแบบต้องห้าม (forbidden band) ดังรูป 2.16



รูป 2.16 โครงสร้างแบบพลังงานของอิเล็กตรอนในวัสดุของแข็ง [26]



รูป 2.17 แสดงแบบพลังงานของอนุวัต สารกึ่งตัวนำ และตัวนำ [35]

2.8 สารกึ่งตัวนำ (semiconductor)

สารที่มีขนาดช่องว่างพลังงานเล็กลงประมาณ 1 eV เรียกว่า สารกึ่งตัวนำ ซึ่งมีสภาพความนำ (conductivity) อยู่ระหว่างโลหะกับอนุวัต และมีค่าสภาพต้านทานอยู่ในช่วงของ $10^{-5} \Omega \cdot \text{m}$ ถึง $10^8 \Omega \cdot \text{m}$ สารกึ่งตัวนำอาจเป็นໄไดทั้งชาตุเดียวและสารประกอบ ในปัจจุบันมีการค้นพบสารกึ่งตัวนำอยู่มากมาย

2.8.1 ประเภทของสารกึ่งตัวนำ [36]

สารกึ่งตัวนำที่เป็นชาตุเดียว คือสารกึ่งตัวนำที่ประกอบไปด้วยอะตอมของชาตุชนิดเดียวกันทั้งหมดเช่นสาร สารกึ่งตัวนำประเภทนี้ได้แก่ ซิลิคอน (silicon) และเยอรมานเนียม (germanium) เป็นต้น สารประกอบไบナรี่ (binary compound) เกิดจากชาตุสองชาตุหรือถูกสร้างขึ้นโดยการนำเอาชาตุในหมู่ III มารวมกับชาตุในหมู่ V สารประกอบเทอร์นารี (ternary compound) เป็นสารประกอบที่ได้จากการนำชาตุสามชนิด และสารประกอบควอเตอร์นารี (quaternary compound) เกิดจากชาตุสี่ชนิดรวมกัน โดยในการเลือกจะใช้คุณสมบัติของสารที่มีความเหมาะสมต่อ กันมาพสมเข้าด้วยกัน ดังตาราง 2.2 ซึ่ง (ก) เป็นสารกึ่งตัวนำชาตุเดียว และ(ข) เป็นสารประกอบกึ่งตัวนำ

ตาราง 2.2 แสดงธาตุที่มีสมบัติเป็นสารกึ่งตัวนำและสารประกอบกึ่งตัวนำ

(ก)

II	III	IV	V	VI
	B	C	P	S
Zn	Al	Si	As	Se
Cd	In	Ge	Sb	Te
		Sn		

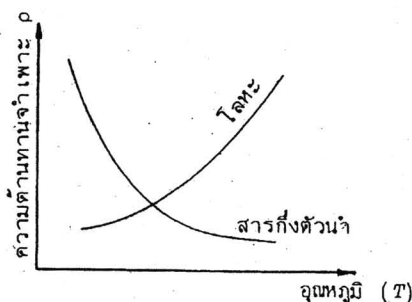
(ก)

สารกึ่งตัวนำ มุลฐาน	สารประกอบไบบาร์			สารประกอบ เทอร์นารี	สารประกอบ ควายเทอร์นารี
	สารประกอบ VI	สารประกอบ III-V	สารประกอบ II-IV		
Si	SiC	AlP	ZnS	In _{1-x} Ga _x As	In _x Ga _{1-x} As _y Sb _{1-y}
Ge		AlAs	ZnSe	InAs _{1-x} Sb _x	In _x Ga _{1-x} As _y P _{1-y}
		AlSb	ZnTe	InAs _{1-x} P _x	
		GaP	CdS	GaAs _x Sb _{1-x}	
		GaAs	CdSe	GaAs _x P _{1-x}	
		GaSb	CdTe		
		InP			
		InAs			
		InSb			

2.8.2 สมบัติของสารกึ่งตัวนำ

เมื่อวัดค่าความต้านทานจำเพาะของสารกึ่งตัวนำที่เขียนกับอุณหภูมิ โดยการเปรียบเทียบกับโลหะ จะพบข้อแตกต่างดังแสดงในรูป 2.18 คือเมื่ออุณหภูมิเพิ่มขึ้น ความต้านทานจำเพาะของโลหะจะเพิ่มในเชิงเส้นตรง ซึ่งต่างจากความต้านทานจำเพาะในสารกึ่งตัวนำที่กลับลดลงแบบ exponential ทั้งนี้เนื่องจากที่อุณหภูมิสูงขึ้นจะทำให้การสัมผัติมากขึ้น ทำให้การชน

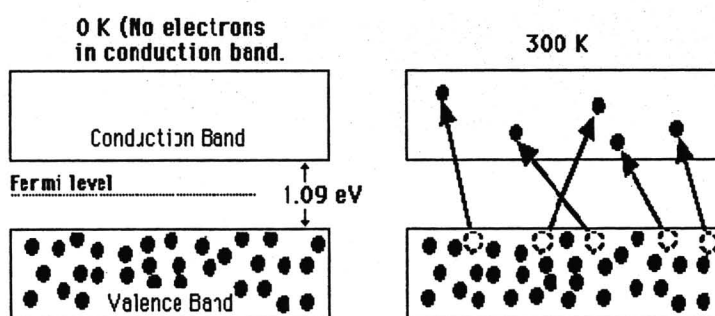
กันระหว่างอิเล็กตรอนและอะตอมสูงขึ้น ค่า mean free path ของอิเล็กตรอนจึงสั้นลง mobility ก็จะลดลงตาม ส่งผลให้สภาพการนำไฟฟ้าของโลหะลดลงด้วย ส่วนในสารกึ่งตัวนำนั้นที่อุณหภูมิ สูงขึ้นขนาดของແບນช่องว่างพลังงานจะแปรลง ทำให้เกิดพาระอิสระและมีจำนวนสูงขึ้น ดังนั้น สภาพการนำไฟฟ้าของสารกึ่งตัวนำจึงดีขึ้น



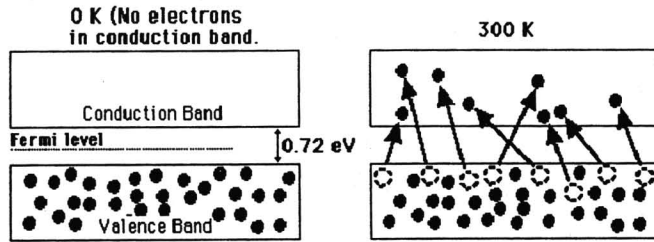
รูป 2.18 ความสัมพันธ์ระหว่างอุณหภูมิและความต้านทานนำไฟฟ้าของโลหะและสารกึ่งโลหะ

2.8.3 สารกึ่งตัวนำบริสุทธิ์ (intrinsic semiconductor) [26]

ที่อุณหภูมิ 0 K ແບນว่าແລນซ์ที่มีอิเล็กตรอนอยู่เต็มจะถูกกันจากແບນการนำที่ไม่มี อิเล็กตรอนอยู่ด้วยในແບນต้องห้าม ความกว้างของແບນต้องห้ามนี้ค่าไม่เกิน 2 eV ชาตุ 2 ชนิดที่ เป็นสารกึ่งตัวนำ คือ ซิลิกอน (Si) และເຍໂຣນາເນີຍ (Ge) มีค่าพลังงานແບນต้องห้ามเท่ากับ 1.09 และ 0.72 eV ตามลำดับ ดังรูป 2.19 และ 2.20 ชาตุหັ້ງສອງໝັດອູ້ໃນໜູ່ IV A ໃນຕາຮາງชาຕຸ ມີ ພັນະຮະຫວ່າງອະຕອນເປັນແບນໂຄວາແລນซ์

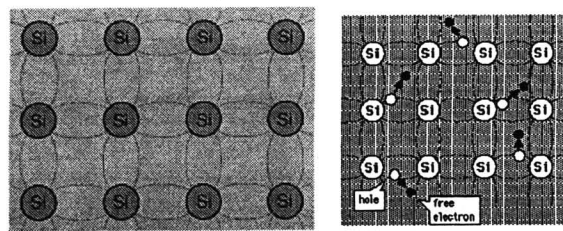


รูป 2.19 ແສດງແບນພລັງງານຂອງຊີລິກອນບຣິສຸທົ່ງ [35]



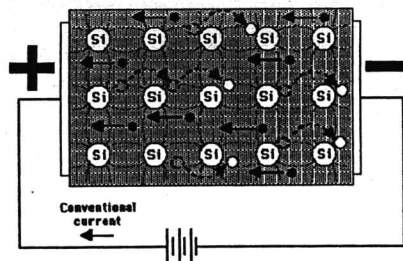
รูป 2.20 แสดงແນບພັ້ງງານຂອງເບອຣມານີຍມບຣຸຖົກ [35]

ພລືກຊີລິກອນຈະແຕກຕ່າງຈາກນຸ່ວ່າໄປຕຽງທີ່ອີເລີກຕຣອນວ່າຈະອາຈຫຼຸດໄປຈາກ
ຕໍາແໜ່ງໃນອະຕອນ ເມື່ອອຸປະກູມສິ່ງແວຄລ້ອນສູງເກີນກວ່າສູນຍົງຄາສັນນູຮັກ (absolute zero) ທີ່
ຫຼຸມວ່າງ (hole) ໄວທີ່ຕໍາແໜ່ງນີ້ ແລະຈະຮອບບັນອີເລີກຕຣອນຈາກຕໍາແໜ່ງອື່ນທີ່ອູ່ໄກດັກນັດງູປ 2.21



รูป 2.21 ແສດງກາຮ່ວດອອກໄປຂອງອີເລີກຕຣອນໃນພລືກຊີລິກອນບຣຸຖົກ [37]

ເມື່ອໄຫ້ຄວາມຕ່າງສັກຍິແກ່ພລືກຊີລິກອນບຣຸຖົກ ທີ່ໂໂສລແລະອີເລີກຕຣອນອີສະຮະທຳໄໝມີ
ກຮະແສໄຟຟ້າໄຫລໃນງາງຈຣທີ່ມີໄໝມາກນັກ ກຮະແສໄຟຟ້າທີ່ໄຫລໃນສາຣກິ່ງຕັນນ່າບຣຸຖົກຈະນີທີ່ກຮະແສ
ທີ່ເກີຈາກອີເລີກຕຣອນອີສະຮະແກະກຮະແສໂໂສລ ອີເລີກຕຣອນທີ່ຫຼຸດອອກໄປຈາກໂຄຮງພລືກນີ້ອຈາກໄດ້ຮັບ
ພັ້ງງານຈາກກາຍນອກຈະເຄີ່ອນທີ່ໄດ້ຍ່າງອີສະຮະ



ຮູບ 2.22 ກາຮ່ວດເຄີ່ອນທີ່ຂອງອີເລີກຕຣອນແລະໂໂສລໃນພລືກຊີລິກອນບຣຸຖົກເມື່ອມີຄວາມຕ່າງສັກຍິ [37]

ในสารกึ่งตัวนำบริสุทธิ์ จำนวนโอลและอิเล็กตรอนที่เกิดขึ้นจะมีจำนวนเท่ากัน การกระตุ้นด้วยพลังงานความร้อนจะทำให้เกิดคู่อิเล็กตรอน-โอลขึ้นใหม่เรื่อยๆ แต่ในขณะเดียวกันก็มีอิเล็กตรอน-โอลที่หายไปเนื่องจากกระบวนการรวมตัวกัน (recombination) [36]

$$n = p = n_i \quad (2.18)$$

เมื่อ n คือ ความหนาแน่นของอิเล็กตรอน
 p คือ ความหนาแน่นของโอล
 n_i คือ intrinsic concentration

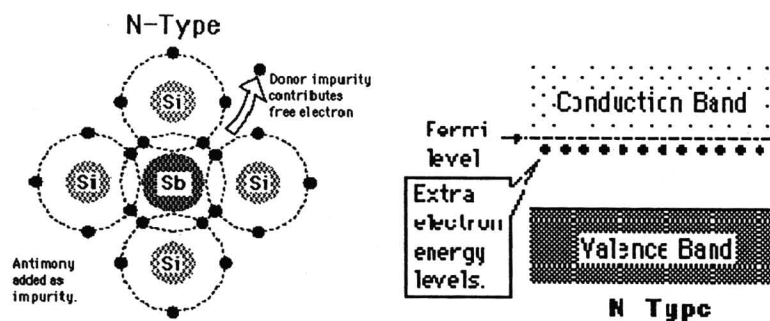
2.8.4 สารกึ่งตัวนำแบบไม่บริสุทธิ์ (extrinsic semiconductor) [26, 28, 30]

เป็นสารกึ่งตัวนำที่มีการเติมสารเจือปน (impurity) เข้าไปในสารกึ่งตัวนำ ซึ่งทำให้สารกึ่งตัวนำนั้นกลายเป็นสารกึ่งตัวนำแบบไม่บริสุทธิ์ ถูกแบ่งออกเป็น

2.8.4.1 สารกึ่งตัวนำชนิดเอ็น (n-type semiconductor)

ได้แก่สารเจือในธาตุหมู่ V ของตารางคาน เช่น P, As และ Sb ที่มีอิเล็กตรอนวงนอกสุดมากกว่า ให้คุณสมบัตินำไฟฟ้าได้โดยมีประจุพำนะอิเล็กตรอนเป็นจำนวนมาก ยกตัวอย่างเช่น Si และ Ge เป็นธาตุที่มีอิเล็กตรอนวงนอกเท่ากับ 4 เมื่อถูกเติมสารเจือปน (impurities) หรือที่เรียกว่าสารโดป (dopants) ลงไปในโครงสร้างผลึก จะได้คุณสมบัติของสารกึ่งตัวนำที่แตกต่างกันออกไปจากสารกึ่งตัวนำบริสุทธิ์

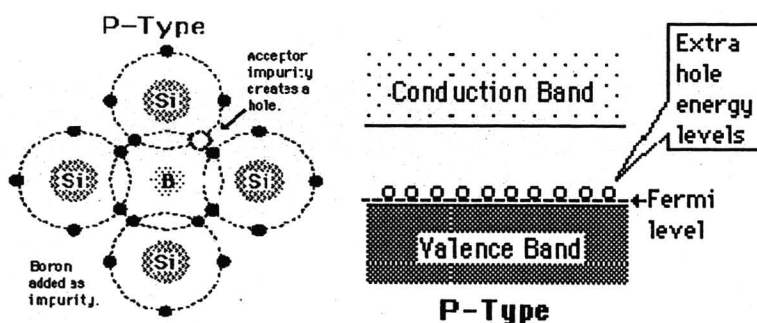
ชิลิกอนเมื่อถูกเติมด้วยอะตอมของแอนทิโนน (Sb) ที่มีอิเล็กตรอนวงนอกสุดเท่ากับ 5 ซึ่งจะไปสร้างพันธะกับวาราเดนซ์อิเล็กตรอนของชิลิกอนเพียง 4 ตัว ทำให้เหลืออิเล็กตรอนวงนอก 1 ตัว ซึ่งจะวิ่งอยู่รอบๆอะตอมของแอนทิโนนด้วยแรงดึงดูดเพียงเบาๆ เมื่ออิเล็กตรอนตัวนี้ได้รับพลังงานเพียงเล็กน้อย จะสามารถหลุดเป็นอิสระในผลึกได้เรียกว่า โอดเอนอร์ (donor) ทำให้มีอิเล็กตรอนอิสระเพิ่มในແນບคอนดักชัน ที่มีสภาพประจุเป็นบวก



รูป 2.23 การจับกันของพันธะระหว่างชิลิกอนกับแอนทิโมนีและແຄນພລັງຈານໜົດ n-type [37]

2.8.4.2 ສຫຣກິ່ງຕຸວ້ານໝັດພີ (p-type semiconductor)

ເປັນການເຕີມຂອງຮາດໜູ່ III ຂອງຕາරາງຮາດ ເຊັ່ນ B, Al, In ແລະ Ga ທີ່ມີອີເລີກຕຣອນວັນນອກສຸດນີ້ຍິກວ່າ ໄກສຸມສົມບັດນຳໄຟຟ້າໂດຍມີໂສລເປັນພາຫະເກີດຂຶ້ນ ຍກຕ້ວອຍ່າງເຊັ່ນ ຂີລິກອນເມື່ອເຕີມດ້ວຍໂບຮອນ (B) ຊົ່ງ ມີອີເລີກຕຣອນວັນນອກ 3 ຕ້າວ ອີເລີກຕຣອນວັນນອກຂອງພັນຮະໂຄວາເລັນໜ້າຮ່ວາງ ຂີລິກອນກັບໂບຮອນຈະຮວມກັນແລ້ວຫັດໄປ 1 ຕ້າວ ທຳໄໝເກີດເປັນຂ່ອງວ່າງຫຼືໂຍລທີ່ມີປະຈຸເປັນນວກເກີດຂຶ້ນ ແລະ ພຣ້ອມຈະຮັບອີເລີກຕຣອນກາຍນອກໄດ້ອີກ 1 ຕ້າວຫາກນີ້ພລັງຈານເຂົ້າໜ່ວຍ ດັ່ງນັ້ນຮະດັບພລັງຈານສາຮເຈື້ອຂອງໂບຮອນຈຶ່ງອູ່ໜ້າຂອບຂອງແຄນວາເລັນໜ້າ ທີ່ຈະສາມາຄຄອຍຮັບອີເລີກຕຣອນທີ່ຈະກະໂດດຂຶ້ນມາຈາກແຄນວາເລັນໜ້າໄດ້ ຈຶ່ງເຮັກວ່າ ອະຕອນຜູ້ຮັບ (acceptor atom) ຊົ່ງຈະມີໂສລໃນແຄນວາເລັນໜ້າເພີ່ມຂຶ້ນ ເມື່ອ acceptor ຈັບກັນອີເລີກຕຣອນໄດ້ກີ່ຈະກລາຍສກາພເປັນປະຈຸລົບ

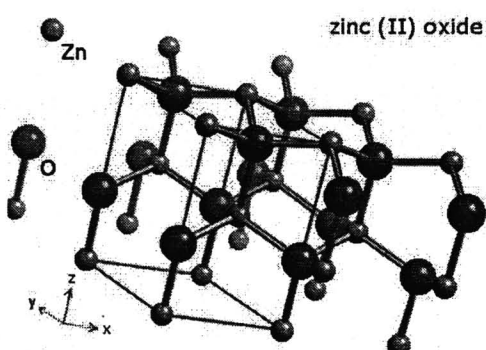


รูป 2.24 การຈັບກັນຂອງພັນຮະຮ່ວາງຂີລິກອນກັບໂບຮອນແລະ ແຄນພລັງຈານໜົດ p-type [37]

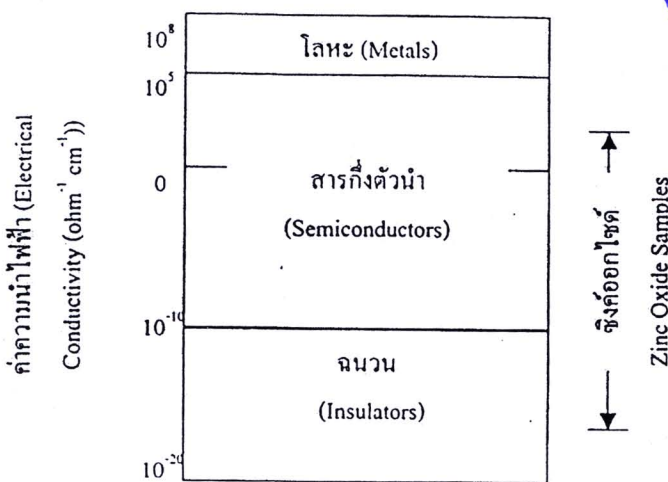
2.9 ซิงก์ออกไซด์ (zinc oxide, ZnO) [1-9, 39-41]

สังกะสี (zinc) เป็นโลหะทรานซิชัน มีการประยุกต์ใช้อย่างแพร่หลายในงานอุตสาหกรรม เช่น ใช้ทำกล้องแบนเตอรี, ใช้เป็นตัวป้องกันการเป็นสนิมของเหล็กและเหล็กกล้า นอกจากนี้ สังกะสียังเป็นองค์ประกอบสำคัญในร่างกายมนุษย์ ไม่ว่าจะเป็นระบบประสาท, ภูมิคุ้มกันของร่างกาย, การป้องกันอนุมูลอิสระ และการเปล่งตัวในระดับเซลล์

ซิงก์ออกไซด์ เป็นธาตุในกลุ่ม II-V ที่เป็นสารกึ่งตัวนำนิcidพี (p-type semiconductor) และ/หรือชนิดเอ็น (n-type semiconductor) ที่มีช่องว่างแอบพลังงานกว้าง (wind bandgap semiconductor) อยู่ที่ 3.37 eV ที่อุณหภูมิห้องซิงก์ออกไซด์มี exciton binding energy สูง (60 meV) โดยจะมีโครงสร้างเป็นแบบ wurtzite hexagonal structure โครงสร้างผลึกนี้จะมีการยึดเหนี่ยว กันอย่างแข็งแรงด้วยพันธะไอโอนิก (ionic band) ไม่พบอิเล็กตรอนอิสระ มีค่าความหนาแน่น 5.6 g/cm^3 และมีจุดหลอมเหลวอยู่ที่ 1975°C ซิงก์ออกไซด์สามารถเป็นทั้งอนุวน (insulator) และสารกึ่งตัวนำ (conductivity) ที่มีค่าความนำไฟฟ้าที่คีซึ่งจะอยู่ในช่วงของ 10^{-7} - $10^3 (\Omega\text{-m})^{-1}$ ดังรูป 2.26 โดยคุณสมบัติการนำไฟฟ้านั้นสามารถเปลี่ยนแปลงได้ด้วยอุณหภูมิและสารเจือปน (impurities) ในระหว่างการเพิ่มอุณหภูมิให้สูงขึ้น ZnO จะสูญเสียออกซิเจนซึ่งทำให้เกิดตำแหน่งที่ว่างของออกซิเจน (oxygen vacancy) หรือ ตำแหน่ง (defect) คือตำแหน่งที่ว่างของออกซิเจนที่เป็นกลางและพลังงานความร้อนที่อุณหภูมิห้องมีค่าสูงเพียงพอที่จะให้ตำแหน่งที่ว่างเกิดเป็นไออกอน ส่งผลให้อิเล็กตรอนเข้าไปอยู่ในแอบนนำไฟฟ้าได้



รูป 2.25 โครงสร้างของซิงก์ออกไซด์



รูป 2.26 ค่าความนำไฟฟ้าของซิงก์ออกไซด์ [9]

นอกจากสังกะสีจะถูกนำมาใช้งานโดยตรงแล้ว ซิงก์ออกไซด์ก็ถูกนำมาใช้งานอย่างแพร่หลาย เช่น ใช้เป็นสารป้องกันรังสีอัลตราไวโอลेट เมื่อจากซิงก์ออกไซด์เป็นสารที่สามารถดูดซับและสะท้อนรังสีอัลตราไวโอลेटได้ ใช้ในอุตสาหกรรมยางเพื่อทำให้ยางคงรูป ใช้เป็นแม่สีในอุตสาหกรรมเคมี และอีกรูปแบบของซิงก์ออกไซด์ที่สามารถนำไปประยุกต์ใช้ได้อย่างกว้างขวางคือซิงก์ออกไซด์ที่อยู่ในรูปของจุดดาวน์ เช่น ทำตัวเซนเซอร์สำหรับวัดสารเคมีหรือใช้ในอุตสาหกรรมการก่อตัว เป็นต้น

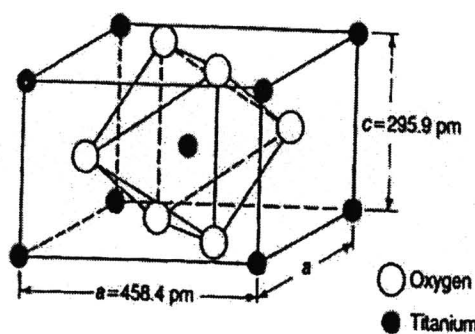
สมบัติโดยทั่วไปของ ZnO [39-41]

1. มวลโมเลกุล	81.389
2. จุดหลอมเหลว	2250 K
3. band gap energy	3.37 eV
4. exciton binding energy	60 eV
5. specific gravity ที่อุณหภูมิห้อง	5.642 g/cm ³
6. สภาพนำความร้อน	0.006 cal/cm/K
7. thermoelectric constant ที่อุณหภูมิห้อง 573 K	1200 mV/K

8. lattice constant ที่อุณหภูมิห้อง	$a = b = 3.250 \text{ \AA}$
	$c = 5.205 \text{ \AA}$
9. ความร้อนจำเพาะ	0.125 cal/g
10. ค่า shear modulus	45.5 GPa
11. ค่ามวลยังคง	$0.24 m_0$; electron
	$0.59 m_0$; hole
12. electron mobility	$100 - 200 \text{ cm}^2/\text{V}$
13. hole mobility	$180 \text{ cm}^2/\text{V}$
14. ความถ่วงจำเพาะที่อุณหภูมิห้อง	5.642 g/cm^3
15. ความแข็ง (Mohs)	4

2.10 ไทดีออกไซด์ (titanium dioxide, TiO_2) [11, 22, 34,42-43]

ไทดีออกไซด์หรือไทดี (titania) เป็นสารออกไซด์ที่เกิดได้เองตามธรรมชาติ มีระบบผลึกที่แตกต่างกัน 3 ประเภทได้แก่ รูไทล์ (rutile), อะนาเทส (anatase) และบрукไกต์ (brookite) เนื่องจากที่อุณหภูมิสูงกว่าประมาณ 800°C อะนาเทสและบрукไกต์จะเปลี่ยนไปเป็น รูไทล์ ทำให้รูไทล์เป็นรูปแบบที่สำคัญในเซรามิก โครงสร้างของรูไทล์แสดงไว้ดังรูป 2.27 ส่างผลให้มีสมบัติที่ขึ้นกับทิศทาง (anisotropic)



รูป 2.27 โครงสร้างผลึกรูไทล์ (TiO_2) [22]

ไทเทเนียมไดออกไซด์ถูกจัดอยู่ในกลุ่มของสารสีที่ปลอดภัยและไม่มีพิษ จึงนำไปใช้ประโยชน์ได้หลากหลาย มีเสถียรภาพทางเคมีและความร้อนสูง มีคุณสมบัติโดดเด่นทั้งทางไฟฟ้า และทางแสงเนื่องจากมีค่าครรชนีหักเหแสงสูง ($n \sim 2.7$) จึงถูกนำไปประยุกต์ใช้อุปกรณ์วัดความกว้างขวาง เช่น ตัวเร่งปฏิกริยาด้วยแสงสำหรับตัวกรองน้ำและอากาศ, ตัวตรวจจับทางเคมี, ตัวเก็บประจุ, วาริสเตอร์, ชิ้นส่วนอุปกรณ์อิเล็กทรอนิกส์ต่างๆ และประยุกต์ใช้ในเซลล์แสงอาทิตย์ เป็นต้น

สมบัติค่างๆของไทเทเนียมออกไซด์ [34, 42-43]

molecular mass	79.87 g/mol
density	4.23 g/cm ³
melting point	1870 °C (3398 °F)
boiling point	2972 °C (5381.6 °F)
dielectric constant : ϵ_r	80-110
heat capacity	298.13 J/(mol °C)
heat conductivity	6.531 W/(m K)
lin. coeff. therm exp.	8.19 °C<-1
elastic module	244 GPa
bulk modulus rutile	210 GPa
hardness	5-6.5 Mohs
resistivity	$3 \times 10^5 \Omega @ 773 \text{ K}$

2.11 สรุปสาระสำคัญจากเอกสารที่เกี่ยวข้อง

ในปี 2003 B.L. Zhu และคณะ [44] ได้ทำการปรับปรุงความไวก้าชของฟิล์มนาโนซิงค์ออกไซด์โดยการเติมไทเทเนียมไออกไซด์ลงไปในอัตราส่วนโดยน้ำหนักที่ต่างกัน เมื่อทำการซินเทอร์ที่ 650°C เป็นเวลา 2 ชั่วโมง แล้ววิเคราะห์ด้วยเทคนิค XRD แล้วจะพบว่ามีเฟส Zn_2TiO_4 เกิดขึ้น ในขณะที่การศึกษาลักษณะโครงสร้างนั้นพบว่าขนาดของกรานโดยเฉลี่ยมีค่าเพิ่มขึ้นเมื่อทำการเติมไทเทเนียมไออกไซด์ในปริมาณเล็กน้อย แต่ว่าขนาดของกรานจะลดลงเมื่อเติมไทเทเนียมไออกไซด์ในปริมาณที่สูงขึ้น และสังเกตได้ว่าความไวของก้าชจะเพิ่มดีขึ้นเมื่อปริมาณของไทเทเนียมไออกไซด์เพิ่มขึ้นด้วย โดยเช่นเชอร์แสดงการตอบสนอง-ถูกดีนิที่รวดเร็วภายในเวลา 10 วินาทีและ 5 วินาทีตามลำดับ เมื่อใช้งานที่อุณหภูมิ $>320^{\circ}\text{C}$

ต่อมาในปี ก.ศ. 2007 Linxing Shi และคณะ [5] ทำการศึกษาฟิล์มบางชิงค์ออกไซด์-ไทเทเนียมไออกไซด์ที่เตรียมโดยใช้การระเบยแบบ E-beam บน昆ัวต์ชับสเตรท จากการวิเคราะห์สเปกตรัมที่ได้โดยใช้เทคนิค XRD และ Raman แสดงให้เห็นว่า ชั้นของฟิล์มไทเทเนียมไออกไซด์ช่วยทำให้การจัดเรียงตัวของผลึกซิงค์ออกไซด์ดีขึ้น และ PL spectroscopy ได้แสดงการปล่อยพลังงานร่วมของอัลตร้าไวโอลेटออกนาโนรูปของการเรืองแสงสีม่วงและเขียวจากฟิล์มบางชิงค์ออกไซด์-ไทเทเนียมไออกไซด์ และพบว่าความเข้มแสงอัลตร้าไวโอลे�ตของฟิล์มบางชิงค์ออกไซด์-ไทเทเนียมไออกไซด์แบบชั้นเดียวที่ 300°C และในปีเดียวกันนั้น J.J. Lu และคณะ [45] ได้ศึกษาฟิล์มบางชิงค์ออกไซด์เจือด้วยไทเทเนียม พบร่วมตัวอย่างที่เจือด้วย Ti 1.3% แสดงสมบัติการนำไฟฟ้าแบบโลหะและการเปลี่ยนจากสารกึ่งตัวนำไปเป็นโลหะนั้นจะเพิ่มขึ้นตามอิเล็กตรอนอิสระที่เพิ่มขึ้น ซึ่งเป็นผลจากการที่ช่องว่างของแคนพลังงานลดลงเนื่องมาจากการเจือไทเทเนียมลงไป ดังนั้นจึงถูกนำมาไปประยุกต์ใช้งานในค้านไฟฟ้า เช่น เชลล์แสงอาทิตย์ จากการศึกษาด้วย XAS ไม่พบการเปลี่ยนแปลง oxidation state ของ Zn สำหรับ second phase อื่น ๆ ไม่ปรากฏในรายงานวิจัยนี้

ในปี 2008 Yanghai Gui และคณะ[46] ได้ทำการศึกษาการปรับปรุงฟิล์มนาโนซิงค์ออกไซด์เจือด้วยไทเทเนียมไออกไซด์ให้มีประสิทธิภาพดีขึ้นโดยใช้แสงอัลตร้าไวโอลे�ตที่อุณหภูมิห้อง โดยผสมซิงค์ (นาโนพาร์ทิคุล) กับไทเทเนียมไออกไซด์(คอมเมօเซียล) ที่อัตราส่วน

ต่างๆ นำไปปิคนเตอร์ที่ 650°C เป็นเวลา 2 ชั่วโมงเพื่อเตรียมเซนเซอร์ฟิล์มหนา พบว่า ไทเทเนียมไดออกไซด์สามารถปรับปรุงสีบรรภาพการทำงานของเซนเซอร์ได้ โดยเซนเซอร์แสดงความไวต่อแสงและความไวต่อ ก๊าซได้ดีกว่าเดิม ซึ่งใช้เวลาในการตอบสนองและถูกัดกีดกายในเวลา 8 วินาที จากการวิเคราะห์ด้วย XRD และ SEM พบว่า เฟสของ Zn_2TiO_4 และ TiO_2 ขัดขวางการโอดของโครงสร้างที่เป็นแท่งหรือคล้ายเข็มและมีผลต่อความไวก๊าซตามลำดับ และผลการการวิเคราะห์อัลตร้าไวโอล็อกทรอนิกส์พบว่า ฟิล์มที่ได้นี้ มีประสิทธิภาพของความไวต่อแสงที่ดีด้วย

จากนั้นในปี ก.ศ.2009 Hai Feng และคณะ [47] ศึกษาผลของการเดินไทเทเนียมไดออกไซด์ในปริมาณต่างๆ ต่อลักษณะ โครงสร้างทางจุลภาคและสมบัติทางไฟฟ้าของ $\text{ZnO}-\text{Pr}_6\text{O}_{11}$ วาริสเตอร์ จากการวิเคราะห์โดยใช้ XRD และ SEM พบว่า ไทเทเนียมไดออกไซด์นี้นับยังการ โอดของกรุนของซิงก์ออกไซด์ และขนาดกรุนของซิงก์ออกไซด์จะลดลงเมื่อมีปริมาณของไทเทเนียมไดออกไซด์เพิ่มขึ้น อีกทั้งการเดินไทเทเนียมไดออกไซด์นี้ยังช่วยปรับปรุงสมบัติแบบ nonlinear และลดการเกิด leakage current ของ $\text{ZnO}-\text{Pr}_6\text{O}_{11}$ วาริสเตอร์ และในปีเดียวกันนี้ Govinda Lakhotia และคณะ [8] ได้ทำการศึกษาฟิล์มหนาของซิงก์ออกไซด์ที่เดินด้วยไทเทเนียมไดออกไซด์ในปริมาณต่างๆ ด้วยวิธีสอนออกไซด์เพื่อใช้เป็น photo-conductor สำหรับ green electronics จากการวิเคราะห์ฟิล์มหนาที่ได้โดยใช้ XRD นั้นจะพบเฟสที่เป็นเอกะ โภนอลุของ ซิงก์ออกไซด์เท่านั้นซึ่งแสดงถึงให้เห็นว่า ไทเทเนียมไดออกไซด์ทำปฏิกิริยา กับ ซิงก์ออกไซด์อย่างสมบูรณ์ จากการศึกษาสัณฐานวิทยาพบว่า ขนาดของกรุนโดยเฉลี่ยเพิ่มขึ้นเมื่อเดินไทเทเนียมไดออกไซด์ปริมาณเล็กน้อยลงในซิงก์ออกไซด์ และฟิล์มนี้มีความไวเพิ่มขึ้นเมื่อมีปริมาณไทเทเนียมไดออกไซด์เพิ่มขึ้น ที่อุณหภูมิห้องนั้นเซนเซอร์แสดงเวลาที่ใช้และเวลาที่ถูกัด อย่างรวดเร็วคือ 10 วินาทีและ 30 วินาทีตามลำดับ จากผลดังกล่าวแสดงถึงความเป็นไปได้ที่จะนำฟิล์มหนาซิงก์ออกไซด์เดินด้วยไทเทเนียมไดออกไซด์ใช้เป็นเครื่องตรวจวัดรังสี UV-A ที่มีความยาวคลื่นอยู่ในช่วงประมาณ 315-400 นาโนเมตร